

## فصل پنجم:

پنچ بار ہار موکی

مطالب این بخش از مرجع زیر اقتباس شده است:

[18]: E. F. Fuchs, M. A. S. Masoum, "Power Quality in Power Systems and Electrical Machines", Elsevier Academic Press, 2008, ISBN: 978-12-369536-9.

## ۱-۵- ماتریس‌های سیستم قدرت

### ۱-۱-۵- ماتریس ادمیتانس شینه

با استفاده از قوانین اهم و کیرشهف می‌توان روابط ریاضی ماتریسی که مفید برای تحلیل پخش بار هستند را بدست آورد. قانون  $KCL$ ، ماتریس‌های شینه و قانون  $KVL$ ، ماتریس‌های حلقه را تولید می‌کنند. ماتریس شینه (که به فرم ادمیتانس نوشته می‌شود) از اعمال مستقیم قانون  $KCL$  به هر شینه مداری به غیر از شینه مرجع (زمین) بدست می‌آید.

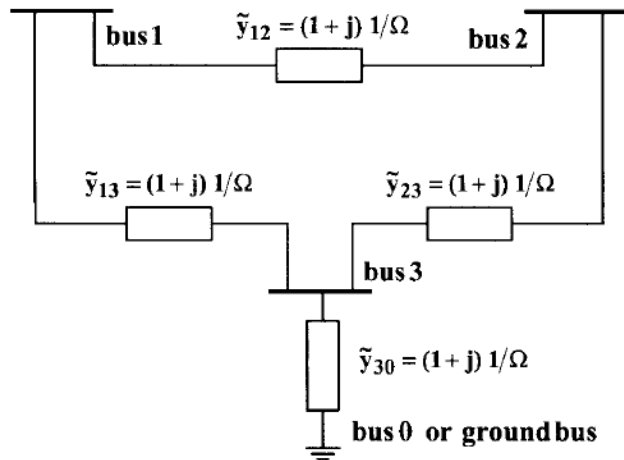
$$\bar{I}_{bus} = \bar{Y}_{bus} \bar{V}_{bus}.$$

row      column      n x 1

درایه‌های قطری ( $y_{jj}$ ) در ماتریس ادمیتانس از مجموع کلیه ادمیتانس‌های خطوط متصل شده به شینه  $j$ ام بدست می‌آید. همچنین درایه‌های غیر قطری ( $y_{ij}$ ) در ماتریس فوق، برابر با منفی ادمیتانس خط بین شینه  $i$  و  $j$  است. ماتریس ادمیتانس یک ماتریس متقارن است که درایه‌های آن اعداد مختلط هستند. همچنین آن، یک ماتریس تُنک<sup>۱</sup> است. اگر ماتریس ادمیتانس غیر صفر باشد، وارون خواهد داشت و لذا می‌توان چنین نوشت:

$$\bar{V}_{bus} = (\bar{Y}_{bus})^{-1} \bar{I}_{bus}.$$

مثال: ماتریس ادمیتانس را در شبکه زیر بدست آورید:



حل:

عناصر غیر از قطر اصلی چنین محاسبه می‌شوند:

$$\begin{aligned} y_{21} &= y_{12} = -(1+j) 1/\Omega, \\ y_{31} &= y_{13} = -(1+j) 1/\Omega, \\ y_{32} &= y_{23} = -(1+j) 1/\Omega, \end{aligned}$$

همچنین عناصر قطری اصلی به صورت زیر بدست می‌آیند:

$$\begin{aligned} y_{11} &= (2+2j) 1/\Omega, \\ y_{22} &= (2+2j) 1/\Omega, \\ y_{33} &= (3+3j) 1/\Omega, \end{aligned}$$

در نتیجه ماتریس ادمیتانس شبکه فوق چنین می‌باشد:

$$\bar{Y}_{\text{bus}} = \begin{bmatrix} y_{11} & y_{12} & y_{13} \\ y_{21} & y_{22} & y_{23} \\ y_{31} & y_{32} & y_{33} \end{bmatrix} = \begin{bmatrix} (2+2j) & -(1+j) & -(1+j) \\ -(1+j) & (2+2j) & -(1+j) \\ -(1+j) & -(1+j) & (3+3j) \end{bmatrix}$$

## ۱-۲- تبدیلات مثلثی<sup>۱</sup>

از آنجا که کلیه شینه‌ها از طریق خطوط انتقال به یکدیگر متصل نیستند، لذا ماتریس ادمیتانس شینه بسیار تُنک است و تنها کمتر از ۱٪ درایه‌های ماتریس، غیر صفر هستند. به منظور کاهش نیاز حافظه کامپیوتر، برنامه‌ریزی تُنک‌سازی استفاده می‌شود. در این روش برنامه‌ریزی، ماتریس‌های تُنک به شکل فشرده‌ای ذخیره می‌شوند. در روش معمول برنامه‌ریزی تُنک‌سازی، تنها درایه‌های غیر صفر ذخیره می‌شوند. کاربرد روش برنامه‌ریزی تُنک‌سازی در ابتدا برای ماتریس  $Y_{bus}$  انجام می‌گیرد. از آنجا که ماتریس ژاکوبین نیز یک ماتریس تُنک است، لذا برنامه‌ریزی تُنک‌سازی برای آن مورد بررسی قرار خواهد گرفت. در مهندسی برق نیز همانند دیگر شاخه‌های مهندسی، لازم است که به طور همزمان یک مجموعه از معادلات خطی جبری حل شوند. شکل کلی آن، حل معادله زیر است:

$$\bar{A} \cdot \bar{x} = \bar{b}$$

که در آن ماتریس  $A$  یک ماتریس  $n \times n$  است و  $b$  بردار  $n$  بُعدی است. حل این معادله شبیه به حل معادله زیر است:

$$\bar{I}_{bus} = \bar{Y}_{bus} \bar{V}_{bus}$$

و یا

$$\bar{V}_{bus} = [\bar{Y}_{bus}]^{-1} \bar{I}_{bus}$$

اگر بتوان ماتریس  $A$  را به دو ماتریس بالا مثلثی و پایین مثلثی تبدیل کرد، آنگاه می‌توان نوشت:

$$\tilde{A} = \bar{L} \cdot \bar{U}$$

که در آن  $L$  ماتریس چپ پایین مثلثی (ماتریسی که کلیه درایه‌های  $l_{rc}$  آن برای  $c > r$  صفر باشد) و  $U$  ماتریس راست بالا مثلثی (ماتریسی که کلیه درایه‌های  $l_{rc}$  آن برای  $r > c$  صفر باشد) است. در نتیجه:

$$\bar{A} \cdot \bar{x} = [\bar{L} \cdot \bar{U}] \bar{x} = \bar{b}$$

فرض کنید  $Ux$  متغیر جدیدی مانند  $w$  را تولید کند که یک بردار  $n$  بعدی است. لذا:

$$\bar{w} = \bar{U} \cdot \bar{x}$$

و

$$\bar{L} \cdot \bar{w} = \bar{b}$$

که در آن

$$\bar{w} = \begin{bmatrix} w_1 \\ w_2 \\ \vdots \\ w_n \end{bmatrix}, \quad \bar{b} = \begin{bmatrix} b_1 \\ b_2 \\ \vdots \\ b_n \end{bmatrix},$$

و

$$\bar{L} = \begin{bmatrix} l_{11} & 0 & 0 & \cdot \\ l_{21} & l_{22} & \cdot & \cdot \\ l_{31} & l_{32} & l_{33} & \cdot \\ \cdot & \cdot & \cdot & \cdot \end{bmatrix}, \quad \bar{U} = \begin{bmatrix} u_{11} & u_{12} & u_{13} & \cdot \\ 0 & u_{22} & u_{23} & \cdot \\ 0 & 0 & u_{33} & \cdot \\ \cdot & \cdot & \cdot & \cdot \end{bmatrix}$$

دقت شود که  $x$  و  $b$  به ترتیب متناظر با بردارهای ولتاژ  $V_{bus}$  و جریان  $I_{bus}$  هستند.

جایگزینی مستقیم<sup>۱</sup>

معادله  $Lw=b$  به سرعت برای  $w$  حل می‌شود چراکه معادله دارای فرم ویژه است.

$$\bar{L} = \begin{bmatrix} l_{11} & 0 & 0 & 0 & \cdot \\ l_{21} & l_{22} & 0 & 0 & \cdot \\ l_{31} & l_{32} & l_{33} & 0 & \cdot \\ \cdot & \cdot & \cdot & \cdot & \cdot \end{bmatrix} \begin{bmatrix} w_1 \\ w_2 \\ \vdots \\ w_n \end{bmatrix} = \begin{bmatrix} b_1 \\ b_2 \\ \vdots \\ b_n \end{bmatrix}$$

با حل این معادله برای سطر اول خواهیم داشت:

$$l_{11}w_1 = b_1$$

و یا

$$w_1 = \frac{b_1}{l_{11}}$$

به همین ترتیب برای سطر دوم

$$l_{21}w_1 + l_{22}w_2 = b_2$$

و یا

$$w_2 = \frac{b_2 - l_{21}w_1}{l_{22}}$$

این روند تا محاسبه کامل درایه‌های  $w$  انجام می‌گیرد.

$$w_r = b_r - \sum_{q=1}^{r-1} l_{rq} w_q$$

حال با داشتن بردار  $w$ ، رابطه  $w = Ux$  استفاده می‌شود تا بردار  $x$  محاسبه گردد.

$$\begin{bmatrix} w_1 \\ w_2 \\ \vdots \\ w_n \end{bmatrix} = \begin{bmatrix} u_{11} & u_{12} & u_{13} & \cdot \\ 0 & u_{22} & u_{23} & \cdot \\ 0 & 0 & u_{33} & \cdot \\ \cdot & \cdot & \cdot & \cdot \end{bmatrix} \begin{bmatrix} x_1 \\ x_2 \\ \vdots \\ x_n \end{bmatrix}$$

جایگزینی معکوس<sup>۱</sup>

با حل معادله فوق برای سطر آخر خواهیم داشت:

$$w_3 = u_{33}x_3$$

و یا

$$x_3 = \frac{w_3}{u_{33}}$$

برای سطر ماقبل آخر نیز می‌توان چنین نوشت:

$$w_2 = u_{22}x_2 + u_{23}x_3$$

و یا

$$x_2 = \frac{w_2 - u_{23}x_3}{u_{22}}$$

و به طور کلی برای سطر  $(I-n)$ ام داریم:

$$w_{n-1} = u_{n-1\ n-1}x_{n-1} + u_{n-1\ n}x_n$$

یا

$$x_{n-1} = \frac{w_{n-1} - u_{n-1\ n}x_n}{u_{n-1\ n-1}}$$

و برای سطر  $n$ ام خواهیم داشت:

$$x_r = \frac{w_r - \sum_{q=r+1}^n u_{rq}x_q}{u_{rr}}$$

در نتیجه کلیه درایه‌های  $x$  با روش جایگزینی معکوس بدست خواهد آمد.

در واقع با انجام مراحل بیان شده، یعنی تبدیل مثلثی، جایگزینی مستقیم و معکوس معادله  $A.x = b$  بدون نیاز

به بدست آوردن معکوس ماتریس  $A$  حل خواهد شد. موفقیت روش فوق به عوامل زیر بستگی دارد:

- سرعت تبدیل ماتریس  $A$  به ماتریس‌های پایین مثلثی و بالا مثلثی
- میزان تُنک بودن ماتریس‌های  $L$  و  $U$

یک فرم از ماتریس‌های بالا مثلثی و پایین مثلثی به شکل زیر است:

$$\bar{L} = \begin{bmatrix} 1 & 0 & 0 & \cdot \\ l_{21} & 1 & 0 & \cdot \\ l_{31} & l_{32} & 1 & \cdot \\ \cdot & \cdot & \cdot & \cdot \end{bmatrix}, \quad \bar{U} = \begin{bmatrix} u_{11} & u_{12} & u_{13} & \cdot \\ 0 & u_{22} & u_{23} & \cdot \\ 0 & 0 & u_{33} & \cdot \\ \cdot & \cdot & \cdot & \cdot \end{bmatrix}$$

### ۳-۱-۵- ماتریس ژاکوبین

ژاکوبین  $n$  تابع  $y_1, y_2, \dots, y_n$  و  $x_1, x_2, \dots, x_n$  مجھول به قرار زیر است:

$$\bar{J} = \begin{bmatrix} \frac{\partial y_1}{\partial x_1} & \frac{\partial y_1}{\partial x_2} & \dots & \frac{\partial y_1}{\partial x_n} \\ \frac{\partial y_2}{\partial x_1} & \frac{\partial y_2}{\partial x_2} & \dots & \frac{\partial y_2}{\partial x_n} \\ \vdots & \vdots & \vdots & \vdots \\ \frac{\partial y_n}{\partial x_1} & \frac{\partial y_n}{\partial x_2} & \dots & \frac{\partial y_n}{\partial x_n} \end{bmatrix}$$

ماتریس ژاکوبین همچون ماتریس  $Y_{bus}$  یک ماتریس تُنک است و لذا می‌توان آنرا به ماتریس‌های بالا مثلثی و پایین مثلثی تبدیل کرد.

مثال: اگر ماتریس‌های  $L$  و  $U$  را به فرم زیر تعریف کنیم درایه‌های این ماتریس‌ها را بدست آورید:

$$\begin{bmatrix} 1 & 0 \\ l_{21} & 1 \end{bmatrix} \begin{bmatrix} u_{11} & u_{12} \\ 0 & u_{22} \end{bmatrix} = \begin{bmatrix} J_{11} & J_{12} \\ J_{21} & J_{22} \end{bmatrix}$$

حل:

$$J_{11} = u_{11} \quad \text{or} \quad u_{11} = J_{11}$$

$$J_{12} = u_{12} \quad \text{or} \quad u_{12} = J_{12}$$

$$J_{21} = l_{21}u_{11} \quad \text{or} \quad l_{21} = J_{21}/u_{11}$$

$$J_{22} = l_{21}u_{12} + u_{22} \quad \text{or} \quad u_{22} = J_{22} - l_{21}u_{12}$$

و در حالت کلی برای تبدیل ماتریس ژاکوبین به ماتریس‌های بالا مثلثی و پایین مثلثی پیشنهاد شده می‌توان

از روابط زیر استفاده کرد:

$$l_{rc} = \frac{J_{rc} - \sum_{q=1}^{c-1} l_{rq} u_{qc}}{u_{cc}}, \quad \text{for } c = 1, 2, \dots, (r-1)$$

و

$$u_{rc} = J_{rc} - \sum_{q=1}^{r-1} l_{rq} u_{qc}, \quad \text{for } c = r, r+1, \dots, n$$

مثال: ماتریس  $A$  را به ماتریس‌های بالا مثلثی و پایین مثلثی تبدیل کنید:

$$A = \begin{bmatrix} 4 & 3 & -1 \\ -2 & -4 & 5 \\ 1 & 2 & 6 \end{bmatrix}$$

: حل

می‌توان از روش زیر برای تبدیل فوق استفاده کرد:

$$A = \begin{bmatrix} 1 & 0 & 0 \\ 0 & 1 & 0 \\ 0 & 0 & 1 \end{bmatrix} \begin{bmatrix} 4 & 3 & -1 \\ -2 & -4 & 5 \\ 1 & 2 & 6 \end{bmatrix}$$

سطر اول برای حذف کردن درایه‌های ستون اول ماتریس  $A$  در زیر درایه  $a_{11}$  استفاده می‌شود. با توجه به

درایه‌های دوم و سوم در ستون اول ماتریس  $A$  می‌توان نتیجه گرفت که باید  $\frac{1}{5}$  برابر سطر اول از سطر

دوم و  $\frac{1}{5}$  برابر سطر اول از سطر سوم کم شود. لذا نتیجه بصورت زیر خواهد شد:

$$A = \begin{bmatrix} 1 & 0 & 0 \\ -0.5 & 1 & 0 \\ 0.25 & 0 & 1 \end{bmatrix} \begin{bmatrix} 4 & 3 & -1 \\ 0 & -2.5 & 4.5 \\ 0 & 1.25 & 6.25 \end{bmatrix}$$

حال سطر دوم برای حذف درایه‌های ستون دوم ماتریس  $A$  در زیر درایه قطر اصلی استفاده می‌شود. با توجه

به درایه سوم در ستون دوم ماتریس  $A$  می‌توان نتیجه گرفت که باید  $\frac{1}{5}$  - برابر سطر دوم از سطر سوم کم

شود. لذا نتیجه بصورت زیر خواهد شد:

$$A = \begin{bmatrix} 1 & 0 & 0 \\ -0.5 & 1 & 0 \\ 0.25 & -0.5 & 1 \end{bmatrix} \begin{bmatrix} 4 & 3 & -1 \\ 0 & -2.5 & 4.5 \\ 0 & 0 & 8.5 \end{bmatrix}$$

گاهی اوقات ممکن است ماتریس  $A$  را نتوان به ماتریس‌های بالا متشی و پایین متشی به فرم داده شده تبدیل

کرد. برای مثال ماتریس زیر را در نظر بگیرید و با استفاده از روش بیان شده در مثال فوق آنرا تبدیل کنید.

$$A = \begin{bmatrix} 1 & 2 & 6 \\ 4 & 8 & -1 \\ -2 & 3 & 5 \end{bmatrix}$$

اگر بخواهیم به روش فوق اقدام کنیم، برای صفر کردن درایه‌های غیر قطری ستون اول خواهیم داشت:

$$A = \begin{bmatrix} 1 & 0 & 0 \\ 4 & 1 & 0 \\ -2 & 0 & 1 \end{bmatrix} \begin{bmatrix} 1 & 2 & 6 \\ 0 & 0 & -25 \\ 0 & 7 & 17 \end{bmatrix}$$

اکنون برای صفر کردن درایه آخر ستون دوم نمی‌توان به روش فوق اقدام کرد. لذا در این حالت باید از

روش زیر استفاده کرد.

ماتریس جایگشتی  $P$ <sup>۱</sup>، ماتریسی است که در هر سطر و یا هر ستونی از آن فقط یک درایه ۱ بوده و بقیه

درایه‌های آن سطر و یا ستون صفر هستند. به عنوان مثال، ماتریس  $4 \times 4$  زیر یک ماتریس جایگشتی است.

$$P = \begin{bmatrix} 0 & 1 & 0 & 0 \\ 1 & 0 & 0 & 0 \\ 0 & 0 & 0 & 1 \\ 0 & 0 & 1 & 0 \end{bmatrix}$$

ضرب یک ماتریس جایگشتی  $P$  در هر ماتریس دیگری مانند ماتریس  $A$ ، ماتریسی را بوجود می‌آورد که سطرهای آن با سطرهای ماتریس  $A$  فقط جابجا شده است ولی درایه‌های سطرها تغییری نکرده است. به عنوان مثال، به رابطه زیر توجه کنید:

$$\begin{bmatrix} 0 & 1 & 0 & 0 \\ 1 & 0 & 0 & 0 \\ 0 & 0 & 0 & 1 \\ 0 & 0 & 1 & 0 \end{bmatrix} \begin{bmatrix} a_{11} & a_{12} & a_{13} & a_{14} \\ a_{21} & a_{22} & a_{23} & a_{24} \\ a_{31} & a_{32} & a_{33} & a_{34} \\ a_{41} & a_{42} & a_{43} & a_{44} \end{bmatrix} = \begin{bmatrix} a_{21} & a_{22} & a_{23} & a_{24} \\ a_{11} & a_{12} & a_{13} & a_{14} \\ a_{41} & a_{42} & a_{43} & a_{44} \\ a_{31} & a_{32} & a_{33} & a_{34} \end{bmatrix}$$

همانطور که مشاهده می‌شود، تنها سطرهای ماتریس بدست آمده با ماتریس اولیه جابجا شده است. به طور کلی برای هر ماتریس  $A$ ، ماتریس جایگشتی  $P$  وجود دارد به گونه‌ای که ماتریس  $PA$  قابل تبدیل به ماتریس‌های بالا مثلثی و پایین مثلثی بیان شده در قسمت‌های قبل باشد. لذا می‌توان نوشت:

$$PA = LU$$

مثال ماتریس زیر را در نظر بگیرید:

$$A = \begin{bmatrix} 1 & 2 & 6 \\ 4 & 8 & -1 \\ -2 & 3 & 5 \end{bmatrix}$$

همانطور که در مثال قبل مطرح شد، این ماتریس قابل تبدیل به ماتریس‌های بالا مثلثی و پایین مثلثی نیست. اما می‌توان ماتریس جایگشتی برای آن پیدا کرد که ماتریس  $PA$  بدست آمده، قابل تبدیل باشد.

$$PA = \begin{bmatrix} 1 & 0 & 0 \\ 0 & 0 & 1 \\ 0 & 1 & 0 \end{bmatrix} \begin{bmatrix} 1 & 2 & 6 \\ 4 & 8 & -1 \\ -2 & 3 & 5 \end{bmatrix} = \begin{bmatrix} 1 & 2 & 6 \\ -2 & 3 & 5 \\ 4 & 8 & -1 \end{bmatrix}$$

حال می‌توان ماتریس بدست آمده را به روش‌های بیان شده تبدیل کرد:

$$\begin{bmatrix} 1 & 2 & 6 \\ -2 & 3 & 5 \\ 4 & 8 & -1 \end{bmatrix} = \begin{bmatrix} 1 & 0 & 0 \\ -2 & 1 & 0 \\ 4 & 0 & 1 \end{bmatrix} \begin{bmatrix} 1 & 2 & 6 \\ 0 & 7 & 17 \\ 0 & 0 & -25 \end{bmatrix}$$

حال دوباره به حل معادله اصلی  $AX=B$  بر می‌گردیم. اگر ماتریس  $A$  با استفاده از ماتریس جایگشتی  $P$  به ماتریس‌های بالا مثلثی و پایین مثلثی تبدیل شد ( $PA=LU$ ), آنگاه معادله اصلی به روش زیر حل خواهد

شد:

- بدست آوردن ماتریس‌های  $P$  و  $L$
- محاسبه ماتریس  $PB$
- حل معادله  $LY=PB$  برای بردار جدید  $Y$  به روش جایگزینی مستقیم
- حل معادله  $UX=Y$  برای بردار  $X$  به روش جایگزینی معکوس

### تمرین شماره ۹:

با استفاده از نرم‌افزار *Matlab* برنامه‌ای بنویسید که هر ماتریس مربعی دلخواه را به ماتریس‌های بالا مثلثی و پایین مثلثی تبدیل کند.

### تمرین شماره ۱۰:

با استفاده از زیر برنامه نوشته شده در تمرین شماره ۹، برنامه‌ای بنویسید که معادله ماتریسی  $AX=B$  را به روش جایگزینی مستقیم و معکوس حل نماید.

## ۵-۴- پخش بار اصلی

پخش بار سیستم الکتریکی یکی از مهمترین مسائل بررسی شده در مهندسی قدرت است. در واقع پخش بار، محاسبه بار خطوط بر مبنای میزان تولید و تقاضای  $P$  و  $Q$  و اندازه‌گیری شده به ترتیب بر حسب  $kW$  و  $kVA$  و  $kVar$  است. شبکه انتقال تقریباً خطی است و لذا انتظار می‌رود مسئله پخش بار نیز خطی باشد. اما با توجه به رابطه توان الکتریکی  $p=v.i$  که حاصلضرب ولتاژ در جریان است، حتی برای شبکه انتقال خطی،

روابط مسئله غیر خطی خواهد بود. علاوه بر آن استفاده از ولتاژها و جریان‌ها به فرم مختلط به غیر خطی بودن مسئله می‌افزاید. همچنین ممکن است برخی اجزاء غیر خطی مانند تپ چنجر ترانسفورماتور در سیستم موجود باشد. روابط پخش بار شامل تغییرات زمانی بارها و تولیدات و تغییرات توپولوژی شبکه نمی‌شود. بلکه در پخش بار، شرایط به صورت حالت ماندگار سینوسی فرض می‌شود و لذا روابط به شکل جبری نوشته می‌شوند.

## ۱-۲-۵- روابط پخش بار به روش نیوتن-رافسون

مسئله پخش بار شامل محاسبه توان‌های جاری شده (اکتیو و راکتیو) و ولتاژهای شبکه (دامنه و فاز) برای شرایط خاص شینه‌ها (توان‌های تولیدی و مصرفی) است. فرض بر این است که تمامی ولتاژها و جریان‌ها دارای فرکانس مؤلفه اصلی هستند. هر شینه دارای چهار مقدار زیر است:

- توان اکتیو  $P$
- توان راکتیو  $Q$
- دامنه ولتاژ
- زاویه ولتاژ

شینه‌ها به سه دسته تقسیم می‌شوند و برای هر شینه دو مقدار از چهار مقدار ذکر شده، مشخص است.

- شینه مرجع<sup>1</sup> که تلفات خطوط انتقال را تأمین می‌کند و در آن دامنه ولتاژ و زاویه ولتاژ مشخص

است که معمولاً دامنه، یک پریونیت و زاویه، صفر فرض می‌شود و زاویه دیگر شینه‌ها نسبت به آن

سنجدیده می‌شود.

- شینه  $PV$  (شینه کترل ولتاژ) که معمولاً شینه‌های هستند که ژنراتور به آنها متصل است و در آنها توان اکتیو و دامنه ولتاژ مشخص است.
  - شینه  $PQ$  (شینه بار) که در آنها مقدار توان اکتیو و راکتیو مشخص هستند.  
بردار ولتاژ بصورت زیر تعریف می‌شود:
- $$\bar{x} = [\delta_2, \quad |\tilde{V}_2|, \quad \delta_3, \quad |\tilde{V}_3|, \quad \dots \quad \delta_n, \quad |\tilde{V}_n|]^t$$
- اختلاف توان اصلی<sup>۱</sup>:
- الگوریتم پخش توان به روش نیوتون-رافسون به گونه‌ای دنبال می‌شود که اختلاف توان‌ها در شینه‌های سیستم صفر گردد. در واقع اختلاف توان در شینه  $i$ ، مجموع توان‌های مختلط خطوط متصل به شینه  $i$  و توان بار مصرفی مختلط متصل به شینه  $i$  است.

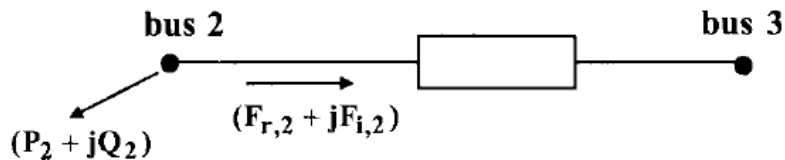
$\Delta \bar{W} = [P_2 + F_{r,2}, Q_2 + F_{i,2}, \dots P_n + F_{r,n}, Q_n + F_{i,n}]^t$ ,

که در آن  $P_i$  و  $Q_i$  به ترتیب توان‌های اکتیو و راکتیو بار در شینه  $i$  و  $F_{r,i}$  و  $F_{i,i}$  به ترتیب مجموع توان‌های اکتیو و راکتیو خطوط متصل به شینه  $i$  است که از رابطه زیر بدست می‌آیند.

$$F_{r,i} = \sum_{j=1}^n y_{ij} |V_j| |V_i| \cos(-\theta_{ij} - \delta_j + \delta_i)$$

$$F_{i,i} = \sum_{j=1}^n y_{ij} |V_j| |V_i| \sin(-\theta_{ij} - \delta_j + \delta_i)$$

شکل (۵-۱) تعریف توان در شینه داده شده را بیان می‌کند. وقت شود که  $P_2 > 0$  برای مصرف توان اکتیو و  $Q_2 < 0$  برای تولید توان اکتیو است. به همین ترتیب  $Q_2 > 0$  برای مصرف توان راکتیو و  $P_2 < 0$  برای تولید توان راکتیو است.



شکل ۱-۵- تعریف توان در شبکه شماره ۲

برای یک سیستم  $n$  شینه که شامل یک شینه مرجع و  $n-1$  شینه  $PQ$  باشد، بردار اختلاف توان  $(I-2(n-1))$  سطرا دارد.

مسئله پخش بار به این صورت است که بردار  $X$  به گونه‌ای پیدا شود که:

$$\Delta \bar{W}(\bar{x}) = 0$$

در صورتیکه رابطه فوق در تکرار اول محقق نشود، با استفاده از روابط زیر که بر مبنای خطی سازی سری تیلور بدست آمده‌اند، می‌توان بردار جدید  $X$  را برای استفاده در تکرار بعدی بدست آورد.

$$\Delta \bar{x}^\xi = \bar{J}^{-1} \Delta \bar{W}(\bar{x}^\xi)$$

$$\bar{x}^{\xi+1} = \bar{x}^\xi - \Delta \bar{x}^\xi$$

محاسبه درایه‌های ماتریس ژاکوبین:

ماتریس ژاکوبین بصورت زیر تعریف می‌شوند:

$$\bar{J} = \begin{bmatrix} \frac{\partial \Delta P_2}{\partial \delta_2} & \frac{\partial \Delta P_2}{\partial V_2} & \dots & \frac{\partial \Delta P_2}{\partial \delta_n} & \frac{\partial \Delta P_2}{\partial V_n} \\ \frac{\partial \Delta Q_2}{\partial \delta_2} & \frac{\partial \Delta Q_2}{\partial V_2} & \dots & \frac{\partial \Delta Q_2}{\partial \delta_n} & \frac{\partial \Delta Q_2}{\partial V_n} \\ \vdots & \vdots & \vdots & \vdots & \vdots \\ \frac{\partial \Delta P_n}{\partial \delta_2} & \frac{\partial \Delta P_n}{\partial V_2} & \dots & \frac{\partial \Delta P_n}{\partial \delta_n} & \frac{\partial \Delta P_n}{\partial V_n} \\ \frac{\partial \Delta Q_n}{\partial \delta_2} & \frac{\partial \Delta Q_n}{\partial \delta_n} & \dots & \frac{\partial \Delta Q_n}{\partial \delta_n} & \frac{\partial \Delta Q_n}{\partial V_n} \end{bmatrix}$$

که در آن:

$$\Delta P_i = P_i + F_{r,i} = P_i + \sum_{j=1}^n y_{ij} V_j V_i \cos(-\theta_{ij} - \delta_j + \delta_i)$$

$$\Delta Q_i = Q_i + F_{i,i} = Q_i + \sum_{j=1}^n y_{ij} V_j V_i \sin(-\theta_{ij} - \delta_j + \delta_i)$$

۹

$$\frac{\partial \Delta P_i}{\partial \delta_i} = - \sum_{\substack{j=1 \\ j \neq i}}^n y_{ij} V_i V_j \sin(\delta_i - \delta_j - \theta_{ij})$$

$$\frac{\partial \Delta P_i}{\partial \delta_k} = y_{ik} V_i V_k \sin(\delta_i - \delta_k - \theta_{ik}) \quad k \neq i$$

$$\frac{\partial \Delta Q_i}{\partial \delta_i} = \sum_{\substack{j=1 \\ j \neq i}}^n y_{ij} V_i V_j \cos(\delta_i - \delta_j - \theta_{ij})$$

$$\frac{\partial \Delta Q_i}{\partial \delta_k} = -y_{ik} V_i V_k \cos(\delta_i - \delta_k - \theta_{ik}) \quad k \neq i.$$

$$\frac{\partial \Delta Q_i}{\partial V_i} = \sum_{\substack{j=1 \\ j \neq i}}^n y_{ij} V_j \sin(\delta_i - \delta_j - \theta_{ij}) + 2V_i y_{ii} \sin(-\theta_{ii})$$

$$\frac{\partial \Delta Q_i}{\partial V_k} = y_{ik} V_i \sin(\delta_i - \delta_k - \theta_{ik}) \quad k \neq i.$$

الگوریتم تکراری حل مسئله پخش بار:

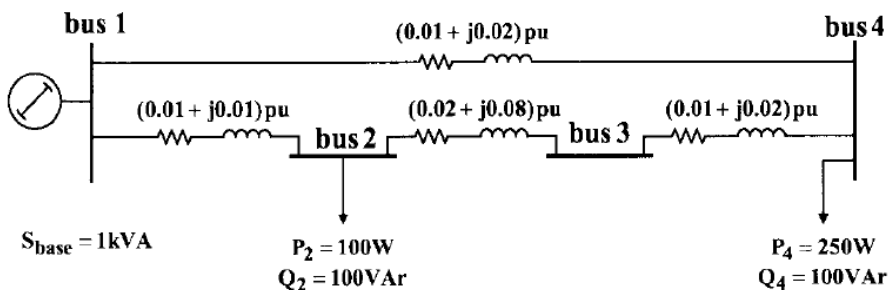
- مرحله اول: محاسبه ماتریس ادمیتانس شبکه  $Y_{bus}$
- مرحله دوم: حدس اولیه برای بردار  $X$  (دامنه کلیه ولتاژها یک پریونیت و زاویه‌ها صفر رادیان)

- مرحله سوم: محاسبه بردار اختلاف توان. اگر درایه‌های این بردار به اندازه کافی کوچک باشند، الگوریتم پایان یافته است (درایه‌ها کوچکتر از  $10^{-4}$  باشند).

- مرحله چهارم: محاسبه ماتریس ژاکوبین  $J$  و بدست آوردن بردار  $\Delta X$  (برای مسائل با تعداد شینه‌های کم می‌توان از وارون ماتریس  $J$  استفاده کرد و برای سیستم‌های با تعداد شینه‌های زیاد از روش تبدیلات بالا مثلثی و پایین مثلثی و جایگزینی مستقیم و معکوس استفاده می‌شود).

- مرحله پنجم: به روز کردن  $\Delta X$  و رفتن به مرحله سوم

مثال: شبکه نمونه زیر را در نظر گرفته (شکل ۲-۵) و برنامه پخش بار را بر روی آن اجرا کنید:



شکل ۲-۵- شبکه نمونه چهار شینه با امپدانس‌های خطوط پریونیتی

مرحله اول:

$$\bar{Y}_{\text{bus}} = \begin{bmatrix} 114.03 \text{pu} \angle -0.910 \text{rad} & 70.72 \text{pu} \angle 2.356 \text{rad} & 0 & 44.72 \text{pu} \angle 2.034 \text{rad} \\ 70.72 \text{pu} \angle 2.356 \text{rad} & 81.42 \text{pu} \angle -0.863 \text{rad} & 12.127 \text{pu} \angle 1.816 \text{rad} & 0 \\ 0 & 12.127 \text{pu} \angle 1.816 \text{rad} & 56.62 \text{pu} \angle -1.154 \text{rad} & 44.72 \text{pu} \angle 2.034 \text{rad} \\ 44.72 \text{pu} \angle 2.034 \text{rad} & 0 & 44.72 \text{pu} \angle 2.034 \text{rad} & 89.44 \text{pu} \angle -1.1076 \text{rad} \end{bmatrix}$$

مرحله دوم:

$$\bar{X}^0 = (\delta_2, |\tilde{V}_2|, \delta_3, |\tilde{V}_3|, \delta_4, |\tilde{V}_4|)^t = (0, 1, 0, 1, 0, 1)^t$$

مرحله سوم:

$$\Delta \bar{W}^0 = (P_2 + F_{r,2}, Q_2 + F_{i,2}, P_3 + F_{r,3}, Q_3 + F_{i,3}, P_4 + F_{r,4}, Q_4 + F_{i,4})^t$$

$$\Delta \bar{W}^0 = (0.0978, 0.0978, -0.0056, -0.00166, 0.2527, 0.1004)^t$$

مرحله چهارم:

$$\bar{J}^0 = \begin{bmatrix} 61.68 & 52.932 & -11.764 & -2.944 & 0 & 0 \\ -52.94 & 61.945 & 2.944 & -11.764 & 0 & 0 \\ -11.764 & -2.944 & 51.772 & 22.917 & -40.0076 & -19.98 \\ 2.944 & -11.764 & -22.926 & 51.773 & 19.982 & -40.0076 \\ 0 & 0 & -40.0076 & -19.982 & 80.015 & 39.961 \\ 0 & 0 & 19.982 & -40.0076 & -39.963 & 80 \end{bmatrix}$$

$$\Delta \bar{X}^0 = J^{-1} = \begin{bmatrix} 0.1 & 2.68 E - 4 \\ 0.1 & 2.39 E - 3 \\ 0 & 2.79 E - 3 \\ 0 & 3.57 E - 3 \\ 0.249 & 3.39 E - 3 \\ 0.1 & 4.03 E - 3 \end{bmatrix}$$

مرحله پنجم: محاسبه  $\Delta \bar{X}^0$  و به روز کردن  $\Delta \bar{W}^1$

$$\Delta \bar{W}^1 = (1.41E-4, 3.01E-4, -9.53E-6, 7.62E-5, 1.20E-3, 5.96E-4, )^t$$

مرحله ششم:

همانطور که مشاهده می شود  $\Delta \bar{W}^1$  همگرا نشده است و لذا باید الگوریتم تکرار گردد. الگوریتم فوق پس از دو تکرار دیگر همگرا خواهد شد. نتایج نهایی پخش باز بصورت زیر بدست آمده است.

FUNDAMENTAL LOADFLOW ITERATION SUMMARY												
ITERATION	ABSOLUTE REAL POWER MISMATCH					ABSOLUTE REACTIVE POWER MISMATCH						
	AVERAGE	WORST	WORST	BUS	HARM	AVERAGE	WORST	WORST	BUS	HARM	P	Q
0	11.67	25.00	4			6.67	10.00	4				
1	0.05	0.12	4			0.03	0.06	4				
2	0.00	0.00	4			0.00	0.00	4				

FUNDAMENTAL LOADFLOW OUTPUT SOLUTION:												
FROM BUS	NAME	VOLTAGE	ANGLE	PG	QG	PL	QL	Q SHUNT	TO BUS	NAME	P	Q
1 SWING		100.00	0.00	35.09	20.15	0.00	0.00	0.00	2 LINEAR	13.35	10.69	
									4 NONLINEAR	21.73	9.47	
2 LINEAR		99.76	-0.02	0.00	0.00	10.00	10.00	0.00	1 SWING	-13.32	-10.66	
									3 TRANSFORMER	3.32	0.66	
3 TRANSFORMER		99.64	-0.16	0.00	0.00	0.00	0.00	0.00	2 LINEAR	-3.32	-0.65	
									4 NONLINEAR	3.32	0.65	
4 NONLINEAR		99.59	-0.20	0.00	0.00	25.00	10.00	0.00	3 TRANSFORMER	-3.32	-0.65	
									1 SWING	-21.68	-9.35	

TOTAL REAL POWER LOSS=	0.09
------------------------	------

### ۳-۵- پخش بار هارمونیکی

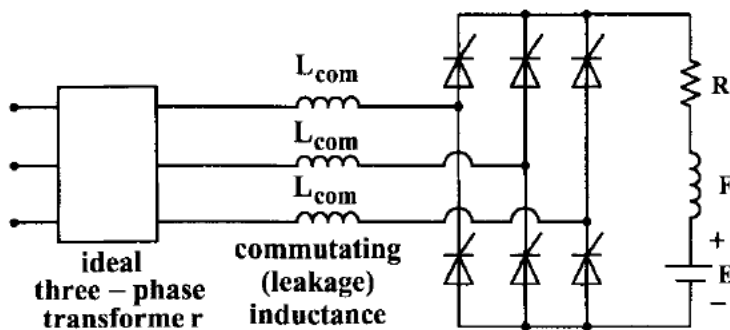
در این قسمت، روابط پخش بار عمومی که در بخش‌های قبلی توضیح داده شد، بسط داده می‌شود تا فرکانس‌های هارمونیکی را نیز شامل شود.

**مشخصه  $V-I$  بار غیر خطی:**

ارتباط  $V-I$  بارهای غیر خطی (مانند مبدل‌های با کمotaسیون خط) به عنوان منابع جریان هارمونیکی مدل می‌شوند. جریان هارمونیکی تزریق شده بار غیر خطی ( $I_{\text{injected}}^h$ ) در شینه شماره  $m$  تابعی از ولتاژهای مؤلفه اصلی و هارمونیکی می‌باشد:

$$\begin{cases} \text{Real}(I_{\text{injected}}^h) = g_{r,m}^{(h)}(\tilde{V}_m^{(1)}, \tilde{V}_m^{(5)}, \tilde{V}_m^{(7)}, \dots, \tilde{V}_m^{(L)}, \alpha_m, \beta_m) \\ \text{Imag}(I_{\text{injected}}^h) = g_{i,m}^{(h)}(\tilde{V}_m^{(1)}, \tilde{V}_m^{(5)}, \tilde{V}_m^{(7)}, \dots, \tilde{V}_m^{(L)}, \alpha_m, \beta_m) \end{cases}$$

که در آن  $\alpha_m$  و  $\beta_m$  پارامترهای کنترلی بار غیر خطی و  $L$  بزرگترین مرتبه هارمونیکی در نظر گرفته شده است. به عنوان مثال یک یکسو کننده تمام موج متصل شده به شینه  $m$  در شکل (۳-۵) نشان داده شده است که در آن  $\alpha_m$  زاویه آتش تریستورها،  $\beta_m$  امپدانس کمotaسیون و  $E$  ولتاژ  $DC$  است.



شکل ۳-۵- مبدل با کمotaسیون خط با بار عمومی

برای بار غیر فعال، تنها مقاومت  $R$  و اندوکتانس فیلتر  $F$  و برای درایو موتور  $DC$  تنها  $R$  و  $E > 0$  در حالت عملکرد موتوری) و برای عملکرد اینورتری با یک منبع  $DC$  تنها  $R$  و  $E$  در نظر گرفته می‌شوند.

## الگوریتم HPF

- شینه شماره ۱ به عنوان شینه مرجع با دامنه ولتاژ  $|\tilde{V}_1|$  و زاویه  $\delta_1$  در نظر گرفته می‌شود.
- شینه های شماره ۲ تا  $m-I$  شینه های خطی  $PQ$  یا  $PV$  هستند. فرض بر این است که در آنها توان

اکتیو  $P_i^{(I)}$  و توان راکتیو  $Q_i^{(I)}$  مشخص هستند.

- شینه های  $m$  تا  $n$  شینه های غیر خطی هستند. در این شینه ها توان اکتیو مؤلفه اصلی  $P_i^{(I)}$  و توان ظاهری کلی  $S_{i,total}$  (یا توان راکتیو کلی  $Q_{i,total}$ ) مشخص هستند.

بردار ولتاژ شینه ها  $X$  در پخش بار اصلی دوباره تعریف می‌شود و بردار  $U$  نام می‌گیرد.

$$\begin{aligned} \bar{U} = & [\delta_2^{(1)}, |\tilde{V}_2^{(1)}|, \dots, \delta_n^{(1)}, |\tilde{V}_n^{(1)}|, \delta_1^{(5)}, |\tilde{V}_1^{(5)}|, \dots, \\ & \delta_n^{(5)}, |\tilde{V}_n^{(5)}|, \dots, \delta_1^{(L)}, |\tilde{V}_1^{(L)}|, \dots, \delta_n^{(L)}, |\tilde{V}_n^{(L)}|, \\ & \alpha_m, \beta_m, \dots, \alpha_n, \beta_n] = [\bar{V}^{(1)}, \bar{V}^{(5)}, \dots, \bar{V}^{(L)}, \bar{\Phi}]^T \end{aligned}$$

که در آن

- ولتاژ های مؤلفه اصلی:

$$\bar{V}^{(1)} = \delta_2^{(1)}, |\tilde{V}_2^{(1)}|, \dots, \delta_n^{(1)}, |\tilde{V}_n^{(1)}|$$

- ولتاژ های هارمونیکی مرتبه پنجم:

$$\bar{V}^{(5)} = \delta_1^{(5)}, |\tilde{V}_1^{(5)}|, \dots, \delta_n^{(5)}, |\tilde{V}_n^{(5)}|$$

- ولتاژ های هارمونیکی مرتبه  $L$ ام:

$$\bar{V}^{(L)} = \delta_1^{(L)}, |\tilde{V}_1^{(L)}|, \dots, \delta_n^{(L)}, |\tilde{V}_n^{(L)}|$$

- متغیر های بار غیر خطی:

$$\bar{\Phi} = \alpha_m, \beta_m, \dots, \alpha_n, \beta_n$$

روابط موجود در پخش بار عمومی برای حل پخش بار هارمونیکی کافی نیست و دو دسته رابطه دیگر

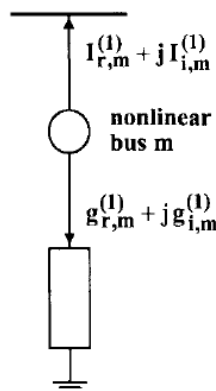
باید به مجموعه روابط موجود اضافه گردد که عبارتند از:

- برای هر هارمونیک در کلیه شینه‌ها (تعادل جریانی) که برای مؤلفه اصلی فقط در شینه‌های غیر خطی نوشته می‌شود.

- تعادل توان ظاهری در شینه‌های غیر خطی

### تعادل جریانی مؤلفه اصلی:

تعادل جریانی برای فرکانس مؤلفه اصلی ( $h=I$ ) در شینه‌های غیر خطی (شکل ۴-۵) نوشته شده است که جریان‌های غیر خطی  $I_{r,m}^{(I)}$  و  $I_{i,m}^{(I)}$  مربوط به شینه شماره  $m$  هستند. لذا برای شینه‌های غیر خطی (از  $m$  تا  $n$ ) برای مؤلفه اصلی جریان می‌توان رابطه زیر را نوشت:



شکل ۴-۵- کاربرد تعادل جریان در شینه غیر خطی ( $I_{r,m}^{(I)}+jI_{i,m}^{(I)}+g_{r,m}^{(I)}+jg_{i,m}^{(I)}=0$ )

$$\begin{bmatrix} I_{r,m}^{(1)} \\ I_{i,m}^{(1)} \\ \vdots \\ I_{r,n}^{(1)} \\ I_{i,n}^{(1)} \end{bmatrix} = - \begin{bmatrix} g_{r,m}^{(1)}(\tilde{V}_m^{(1)}, \tilde{V}_m^{(5)}, \dots, \tilde{V}_m^{(L)}, \alpha_m, \beta_m) \\ g_{i,m}^{(1)}(\tilde{V}_m^{(1)}, \tilde{V}_m^{(5)}, \dots, \tilde{V}_m^{(L)}, \alpha_m, \beta_m) \\ \vdots \\ g_{r,n}^{(1)}(\tilde{V}_n^{(1)}, \tilde{V}_n^{(5)}, \dots, \tilde{V}_n^{(L)}, \alpha_n, \beta_n) \\ g_{i,n}^{(1)}(\tilde{V}_n^{(1)}, \tilde{V}_n^{(5)}, \dots, \tilde{V}_n^{(L)}, \alpha_n, \beta_n) \end{bmatrix}$$

که در آن  $I_{r,m}^{(I)}$  و  $I_{i,m}^{(I)}$  جریان‌های خط اکتیو و راکتیو مؤلفه اصلی در شینه غیر خطی  $m$  و  $g_{r,m}^{(I)}$  و  $g_{i,m}^{(I)}$  جریان‌های تزریقی اکتیو و راکتیو مؤلفه اصلی بار در همان شینه است.

تعادل جریانی هارمونیکی:

برای کلیه شینه‌ها (اعم از خطی و غیر خطی) می‌توان رابطه زیر را نوشت:

$$\begin{bmatrix} I_{r,1}^{(h)} \\ I_{i,1}^{(h)} \\ \vdots \\ \vdots \\ I_{r,m-1}^{(h)} \\ I_{i,m-1}^{(h)} \\ \hline I_{r,m}^{(h)} \\ I_{i,m}^{(h)} \\ \vdots \\ \vdots \\ I_{r,n}^{(h)} \\ I_{i,n}^{(h)} \end{bmatrix} = - \begin{bmatrix} 0 & & & & \\ & \ddots & & & \\ & & \text{(swing bus and linear buses)} & & \\ & & & \ddots & \\ & & & & 0 \\ \hline g_{r,m}^{(h)}(\tilde{V}_m^{(1)}, \tilde{V}_m^{(5)}, \dots, \tilde{V}_m^{(L)}, \alpha_m, \beta_m) \\ g_{i,m}^{(h)}(\tilde{V}_m^{(1)}, \tilde{V}_m^{(5)}, \dots, \tilde{V}_m^{(L)}, \alpha_m, \beta_m) \\ \vdots \\ g_{r,n}^{(h)}(\tilde{V}_n^{(1)}, \tilde{V}_n^{(5)}, \dots, \tilde{V}_n^{(L)}, \alpha_n, \beta_n) \\ g_{i,n}^{(h)}(\tilde{V}_n^{(1)}, \tilde{V}_n^{(5)}, \dots, \tilde{V}_n^{(L)}, \alpha_n, \beta_n) \end{bmatrix}$$

که در آن  $I_{i,m}^{(h)}$  و  $I_{r,m}^{(h)}$  در قسمت‌های بعدی محاسبه می‌شوند.

تعادل توان ظاهری:

تعادل ولت آمپر در هر شینه غیر خطی  $j$  بصورت زیر نوشته می‌شود:

$$S_j^2 = (P_j^t)^2 + (Q_j^t)^2 + D_j^2$$

که در آن

$$(P_j^t)^2 = \left( \sum_h P_j^{(h)} \right)^2 = (V_j^{(1)} I_j^{(1)} \cos \theta_j^{(1)} + V_j^{(5)} I_j^{(5)} \cos \theta_j^{(5)} + V_j^{(7)} I_j^{(7)} \cos \theta_j^{(7)} + \dots)^2$$

$$(Q_j^t)^2 = \left( \sum_h Q_j^{(h)} \right)^2 = (V_j^{(1)} I_j^{(1)} \sin \theta_j^{(1)} + V_j^{(5)} I_j^{(5)} \sin \theta_j^{(5)} + V_j^{(7)} I_j^{(7)} \sin \theta_j^{(7)} + \dots)^2$$

و  $D_n$  تا  $D_m$  با استفاده از  $g_{i,n}$ ,  $g_{r,n}$ ,  $g_{i,m}$  و  $g_{r,m}$  محاسبه خواهند شد.

تعداد مجهول‌ها برای یک سیستم  $n$  شینه که از شینه شماره  $m$  تا  $n$  آن، شینه‌های غیر خطی هستند، به

قرار زیر می‌باشد ( $K$  تعداد هارمونیک‌های در نظر گرفته شده به غیر از مؤلفه اصلی است، مثلاً برای

$K=3$  مقدار  $h=1, 5, 7, 11$  می‌باشد.):

- دامنه‌های ولتاژ و زاویه‌های آنها برای مؤلفه اصلی شینه‌ها بجز شینه مرجع
  - توان‌های اکتیو و راکتیو مؤلفه اصلی در شینه مرجع
  - دامنه‌های ولتاژ و زاویه‌های آنها برای مؤلفه هارمونیکی کلیه شینه‌ها
  - توان‌های راکتیو کلی  $Q_j^t$  در شینه‌های غیر خطی
  - دو متغیر  $\alpha_j$  و  $\beta_j$  مربوط به شینه‌های غیر خطی
  - مجموع کلی تعداد معجهول‌ها
- تعداد روابط موجود برای بدست آوردن متغیرهای معجهول نیز به قرار زیر است:
- تعادل توان‌های  $P$  و  $Q$  در  $m-I$  شینه خطی به غیر از شینه مرجع
  - دامنه ولتاژ و زاویه آن برای مؤلفه اصلی در شینه مرجع
  - تعادل مؤلفه‌های حقیقی و موهومی جریان مؤلفه اصلی در شینه‌های غیر خطی
  - تعادل مؤلفه‌های حقیقی و موهومی جریان‌های هارمونیکی در کلیه شینه‌ها
  - تعادل ولت آمپر ظاهری در شینه‌های غیر خطی به منظور محاسبه توان راکتیو (در صورت مشخص بودن توان راکتیو در شینه‌های غیر خطی نیاز به محاسبه نیست).
  - مجموع کلی تعداد روابط

تعداد  $(n-m+I)2$  رابطه باقی می‌ماند که از اختلاف توان‌های اکتیو و راکتیو شینه‌های غیر خطی بدست می‌آیند:

$$\Delta P_j^{\text{nonlinear}} = P_j^t + \sum_h F_{r,j}^{(h)}$$

$$\Delta Q_j^{\text{nonlinear}} = Q_j^t + \sum_h F_{i,j}^{(h)}$$

که در آن  $P_j^t$  و  $Q_j^t$  توان‌های اکتیو و راکتیو غیر خطی کلی (مؤلفه اصلی و هارمونیکی) در شینه زام است.

$$\sum_h F_{i,j}^{(h)} \text{ و } \sum_h F_{r,j}^{(h)}$$

بردار اختلاف برای  $HPF$

بردار اختلاف (شامل اختلاف توان و اختلاف جریان) برای پخش بار هارمونیکی بصورت زیر تعریف

می‌گردد:

$$\Delta \bar{M} = [\Delta \bar{W}, \Delta \bar{I}^{(5)}, \dots, \Delta \bar{I}^{(L)}, \Delta \bar{I}^{(1)}]^t$$

که در آن

$$\begin{aligned} \Delta \bar{W} &= (P_2^{(1)} + F_{r,2}^{(1)}, Q_2^{(1)} + F_{i,2}^{(1)}, \dots, P_{m-1}^{(1)} + F_{r,m-1}^{(1)}, Q_{m-1}^{(1)} + F_{i,m-1}^{(1)}, \\ &\quad \Delta P_m^{nonlinear}, \Delta Q_m^{nonlinear}, \dots, \Delta P_n^{nonlinear}, \Delta Q_n^{nonlinear})^t \end{aligned}$$

و

$$\Delta \bar{I}^{(1)} = (I_{r,m}^{(1)} + G_{r,m}^{(1)}, I_{i,m}^{(1)} + G_{i,m}^{(1)}, \dots, I_{r,n}^{(1)} + G_{r,n}^{(1)}, I_{i,n}^{(1)} + G_{i,n}^{(1)})^t$$

$$\begin{aligned} \Delta \bar{I}^{(h)} &= (I_{r,1}^{(h)}, I_{i,1}^{(h)}, \dots, I_{r,m-1}^{(h)}, I_{i,m-1}^{(h)}, I_{r,m}^{(h)} + G_{r,m}^{(h)}, I_{i,m}^{(h)} + G_{i,m}^{(h)}, \dots \\ &\quad , I_{r,n}^{(h)} + G_{r,n}^{(h)}, I_{i,n}^{(h)} + G_{i,n}^{(h)})^t \end{aligned}$$

مؤلفه‌های حقیقی و موهومی جریان بار غیر خطی ارجاع شده به شینه مرجع، مشخص

هستند و  $I_{i,m}^{(h)}$  و  $I_{r,m}^{(h)}$  بدست خواهند آمد.

روش نیوتون-رافسون بکار گرفته می‌شود تا با استفاده از ماتریس ژاکوبین، بردار اختلاف به سمت صفر

میل کند.

$$\Delta \bar{U}^{(\xi)} = \bar{U}^{(\xi)} - \bar{U}^{(\xi+1)}$$

$$\Delta \bar{M} = \bar{J} \Delta \bar{U}^{(\xi)}$$

ماتریس ژاکوبین  $J$  که ابعاد آن  $2(nK+n-L)+2(n-m+1) \times 2(nK+n-L)+2(n-m+1)$  است، بصورت

تعریف می‌شود:

$$\Delta \bar{M} = \begin{bmatrix} \Delta \bar{W} \\ \Delta \bar{I}^{(5)} \\ \Delta \bar{I}^{(7)} \\ \vdots \\ \Delta \bar{I}^{(L)} \\ \Delta \bar{I}^{(1)} \end{bmatrix} = \begin{bmatrix} \bar{J}^{(1)} & \bar{J}^{(5)} & \dots & \bar{J}^{(L)} & 0 \\ \bar{Y}G^{(5,1)} & \bar{Y}G^{(5,5)} & \dots & \bar{Y}G^{(5,L)} & \bar{H}^{(5)} \\ \bar{Y}G^{(7,1)} & \bar{Y}G^{(7,5)} & \dots & \bar{Y}G^{(7,L)} & \bar{H}^{(7)} \\ \vdots & \vdots & \ddots & \vdots & \vdots \\ \bar{Y}G^{(L,1)} & \bar{Y}G^{(L,5)} & \dots & \bar{Y}G^{(L,L)} & \bar{H}^{(L)} \\ \bar{Y}G^{(1,1)} & \bar{Y}G^{(1,5)} & \dots & \bar{Y}G^{(1,L)} & \bar{H}^{(1)} \end{bmatrix} \begin{bmatrix} \Delta \bar{V}^{(1)} \\ \Delta \bar{V}^{(5)} \\ \Delta \bar{V}^{(7)} \\ \vdots \\ \Delta \bar{V}^{(L)} \\ \Delta \bar{\Phi} \end{bmatrix}$$

$$\Delta \bar{U} = \begin{bmatrix} \Delta \bar{V}^{(1)} \\ \Delta \bar{V}^{(5)} \\ \Delta \bar{V}^{(7)} \\ \vdots \\ \Delta \bar{V}^{(L)} \\ \Delta \bar{\Phi} \end{bmatrix} = \begin{bmatrix} \bar{J}^{(1)} & \bar{J}^{(5)} & \dots & \bar{J}^{(L)} & 0 \\ \bar{Y}G^{(5,1)} & \bar{Y}G^{(5,5)} & \dots & \bar{Y}G^{(5,L)} & \bar{H}^{(5)} \\ \bar{Y}G^{(7,1)} & \bar{Y}G^{(7,5)} & \dots & \bar{Y}G^{(7,L)} & \bar{H}^{(7)} \\ \dots & \dots & \dots & \dots & \dots \\ \bar{Y}G^{(L,1)} & \bar{Y}G^{(L,5)} & \dots & \bar{Y}G^{(L,L)} & \bar{H}^{(L)} \\ \bar{Y}G^{(1,1)} & \bar{Y}G^{(1,5)} & \dots & \bar{Y}G^{(1,L)} & \bar{H}^{(1)} \end{bmatrix}^{-1} \begin{bmatrix} \Delta \bar{W} \\ \Delta \bar{I}^{(5)} \\ \Delta \bar{I}^{(7)} \\ \vdots \\ \Delta \bar{I}^{(L)} \\ \Delta \bar{I}^{(1)} \end{bmatrix}$$

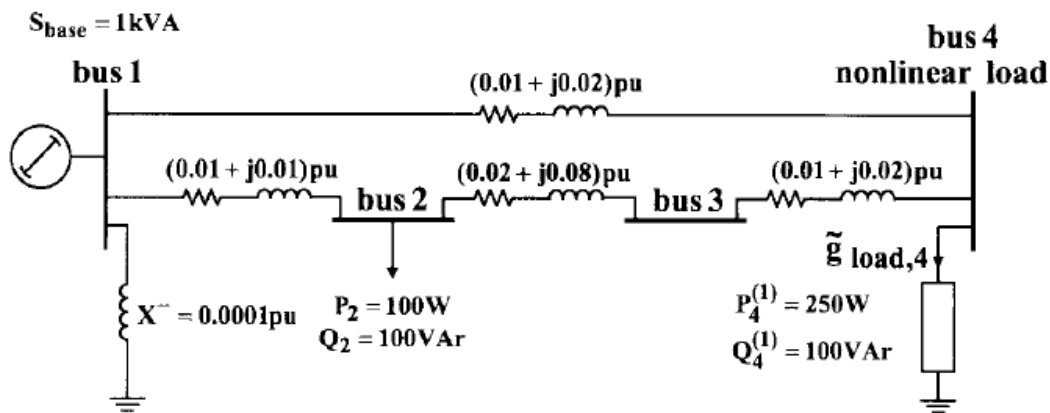
در مورد چگونگی تشکیل ماتریس ژاکوبین در پخش بار هارمونیکی، در زمان حل مثال مطرح شده در

این قسمت، به طور کامل توضیح داده خواهد شد.

**خلاصه الگوریتم پخش بار هارمونیکی:**

- مرحله اول: انجام پخش بار اصلی روی شبکه مورد نظر
- مرحله دوم: محاسبه  $g_{i,m}^{(h)}$  و  $g_{r,m}^{(h)}$  برای بارهای غیر خطی
- مرحله سوم: محاسبه بردار اختلاف، اگر درایه‌های آن کوچک است الگوریتم متوقف می‌شود.
- مرحله چهارم: محاسبه ماتریس  $J$  و  $\Delta \bar{U}$  با استفاده از روش جایگزینی مستقیم و معکوس
- مرحله پنجم: به روز کردن  $\bar{U}$  با استفاده از رابطه  $\bar{U}^{(1)} = \bar{U}^{(0)} - \Delta \bar{U}^{(1)}$
- مرحله ششم: به روز کردن توانهای کلی ( $P_j^t$  و  $Q_j^t$ ) در شینه‌های غیر خطی
- مرحله هفتم: رفتن به مرحله دوم

مثال: شبکه نمونه زیر را در نظر گرفته (شکل ۵) و برنامه پخش بار هارمونیکی را بر روی آن اجرا کنید:



شکل ۵-۵- شبکه نمونه چهار شینه با یک شینه دارای بار غیر خطی که در آن  $n=m=4$

که مشخصه  $V-I$  بار هارمونیکی در شینه شماره ۴ بصورت زیر است:

$$g_{r,4}^{(5)} = 0.3(V_4^{(1)})^3 \cos(3\delta_4^{(1)}) + 0.3(V_4^{(5)})^2 \cos(3\delta_4^{(5)}),$$

$$g_{i,4}^{(5)} = 0.3(V_4^{(1)})^3 \sin(3\delta_4^{(1)}) + 0.3(V_4^{(5)})^2 \sin(3\delta_4^{(5)})$$

حل:

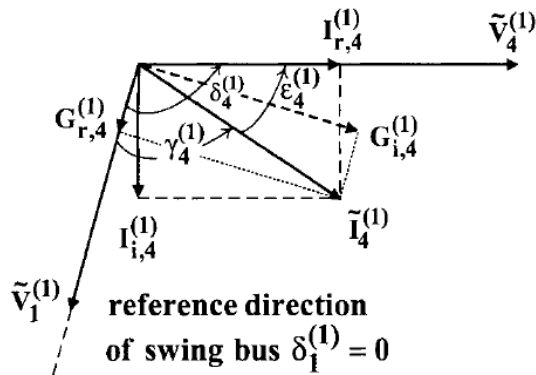
ماتریس ادمیتانس مؤلفه اصلی شینه‌ها در بخش قبلی محاسبه شده است (امپدانس  $X$  برای مقادیر اصلی وجود ندارد). ماتریس ادمیتانس هارمونیکی شینه‌ها برای هارمونیک مرتبه پنجم با در نظر گرفتن  $X$  بصورت زیر خواهد بود.

$$y_{11}^{(5)} = \frac{1}{0.01 + j(0.02 \times 5)} + \frac{1}{0.01 + j(0.01 \times 5)} + \frac{1}{j(0.0001 \times 5)} = 0.9901 - j9.901 + 3.846 - j19.231 - j2000$$

به همین ترتیب درایه‌های دیگر ماتریس ادمیتانس هارمونیکی محاسبه می‌شوند.

$$\bar{Y}_{bus}^{(5)} = \begin{bmatrix} 2029.137 \text{pu} \angle -1.5684 \text{rad} & 19.61 \text{pu} \angle 1.7681 \text{rad} & 0 & 9.9503 \text{pu} \angle 1.6704 \text{rad} \\ 19.61 \text{pu} \angle 1.7681 \text{rad} & 22.0847 \text{pu} \angle -1.3900 \text{rad} & 2.4969 \text{pu} \angle 1.62066 \text{rad} & 0 \\ 0 & 2.4969 \text{pu} \angle 1.62066 \text{rad} & 12.445 \text{pu} \angle -1.4811 \text{rad} & 9.9504 \text{pu} \angle 1.6704 \text{rad} \\ 9.9503 \text{pu} \angle 1.6704 \text{rad} & 0 & 9.9504 \text{pu} \angle 1.6704 \text{rad} & 19.901 \text{pu} \angle -1.4711 \text{rad} \end{bmatrix}$$

قسمت حقیقی و موهومی مؤلفه اصلی جریان غیر خطی  $G_{r,4}^{(1)}$  و  $G_{i,4}^{(1)}$  ارجاع شده به شینه مرجع، بصورت زیر محاسبه می‌شود. شکل (۶-۵) دیاگرام فازوری برای مؤلفه اصلی را نشان می‌دهد.



شکل ۶-۵- دیاگرام فازوری برای مؤلفه اصلی

$$P_4^{(1)} = V_4^{(1)} I_4^{(1)} \cos(\delta_4^{(1)} - \gamma_4^{(1)})$$

$$Q_4^{(1)} = V_4^{(1)} I_4^{(1)} \sin(\delta_4^{(1)} - \gamma_4^{(1)})$$

که در آن

$$\gamma_4^{(1)} = \delta_4^{(1)} - \tan^{-1}\left(\frac{Q_4^{(1)}}{P_4^{(1)}}\right)$$

$$G_{r,4}^{(1)} = I_4^{(1)} \cos \gamma_4^{(1)}$$

$$I_4^{(1)} = \frac{P_4^{(1)}}{V_4^{(1)} \cos(\delta_4^{(1)} - \gamma_4^{(1)})}$$

$$G_{r,4}^{(1)} = \frac{P_4^{(1)} \cos \gamma_4^{(1)}}{V_4^{(1)} \cos(\delta_4^{(1)} - \gamma_4^{(1)})}$$

به همین ترتیب برای قسمت موهومی

$$G_{i,4}^{(1)} = \frac{P_4^{(1)} \sin \gamma_4^{(1)}}{V_4^{(1)} \cos(\delta_4^{(1)} - \gamma_4^{(1)})}$$

قسمت حقیقی و موهومی مرله پنجم هارمونیکی جریان غیر خطی  $g_{r,4}^{(1)}$  و  $g_{i,4}^{(1)}$  ارجاع شده به شینه

شماره ۴، بصورت زیر می‌باشد.

$$g_{r,4}^{(5)} = 0.3(V_4^{(1)})^3 \cos(3\delta_4^{(1)}) + 0.3(V_4^{(5)})^2 \cos(3\delta_4^{(5)}),$$

$$g_{i,4}^{(5)} = 0.3(V_4^{(1)})^3 \sin(3\delta_4^{(1)}) + 0.3(V_4^{(5)})^2 \sin(3\delta_4^{(5)})$$

$$I_4^{(5)} = \sqrt{(g_{r,4}^{(5)})^2 + (g_{i,4}^{(5)})^2}$$

مرحله اول: با استفاده از بردار ولتاژ  $X$  بدست آمده از پخش بار اصلی و همچنین با فرض دامنه های ولتاژ

هارمونیکی ۱/۰ پریونیت و زاویه ولتاژ صفر رادیان، بردار ولتاژ  $\bar{U}^0$  بصورت زیر حاصل می شود:

$$\bar{U}^0 = (\delta_2^{(1)}, V_2^{(1)}, \delta_3^{(1)}, V_3^{(1)}, \delta_4^{(1)}, V_4^{(1)}, \delta_1^{(5)}, V_1^{(5)}, \delta_2^{(5)}, V_2^{(5)}, \delta_3^{(5)}, V_3^{(5)}, \delta_4^{(5)}, V_4^{(5)}, \alpha_4, \beta_4)^t$$

$$\bar{U}^0 = (-2.671 \cdot 10^{-4}, 0.9976, -2.810 \cdot 10^{-3}, 0.9964, -3.414 \cdot 10^{-3}, 0.9960, 0, 0.1, 0, 0.1, 0, 0.1, 0, 0.1, 0, 0)^t$$

بدلیل اینکه بار غیر خطی شینه شماره ۴ تابعی از  $\alpha$  و  $\beta$  نیست، لذا آنها صفر در نظر گرفته شده اند.

مرحله دوم: با توجه به و  $V_4^{(1)} = 0.9960 pu$ ,  $Q_4^{(1)} = 10VAr = 0.1 pu$ ,  $P_4^{(1)} = 250W = 0.25 pu$

$$\delta_4^{(1)} = -3.414 \cdot 10^{-3} radians$$

$$\varepsilon_4^{(1)} = \tan^{-1}\left(\frac{Q_4^{(1)}}{P_4^{(1)}}\right) = \tan^{-1}\left(\frac{0.1}{0.25}\right) = 0.3805 rad$$

$$\gamma_4^{(1)} = \delta_4^{(1)} - \varepsilon_4^{(1)} = (-0.003414 - 0.3805) = -0.38391 rad$$

$$G_{r,4}^{(1)} = \frac{P_4^{(1)} \cos(\gamma_4^{(1)})}{V_4^{(1)} \cos(\delta_4^{(1)} - \gamma_4^{(1)})} = \frac{0.25 \cdot \cos(-0.38391)}{0.9960 \cdot \cos(-0.003414 - 0.38391)} = 0.2514 pu$$

$$G_{i,4}^{(1)} = \frac{P_4^{(1)} \sin(\gamma_4^{(1)})}{V_4^{(1)} \cos(\delta_4^{(1)} - \gamma_4^{(1)})} = \frac{0.25 \cdot \sin(-0.38391)}{0.9960 \cdot \cos(-0.003414 - 0.38391)} = -0.1015 pu$$

$$I_4^{(1)} = \sqrt{(G_{r,4}^{(1)})^2 + (G_{i,4}^{(1)})^2} = \sqrt{(0.2514)^2 + (-0.1015)^2} = 0.2711 pu$$

$$g_{r,4}^{(5)} = 0.3(0.9960)^3 \cos(-3 \cdot 0.003414) + 0.3(0.1)^2 \cos(3 \cdot 0) = 0.2994 pu$$

$$g_{i,4}^{(5)} = 0.3(0.9960)^3 \sin(-3 \cdot 0.003414) + 0.3(0.1)^2 \sin(3 \cdot 0) = -0.003036 pu$$

$$I_4^{(5)} = \sqrt{(g_{r,4}^{(5)})^2 + (g_{i,4}^{(5)})^2} = \sqrt{(0.2994)^2 + (-0.003036)^2} = 0.2994 pu$$

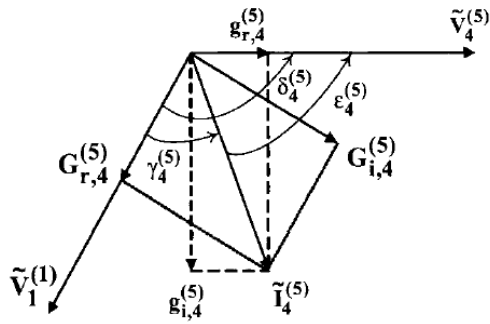
$$\varepsilon_4^{(5)} = \tan^{-1}\left(\frac{|g_{i,4}^{(5)}|}{|g_{r,4}^{(5)}|}\right) = 0.01014 rad$$

جريان های هارمونیک پنجم در شینه شماره ۴ ارجاع شده به شینه مرجع به قرار زیر است:

$$G_{r,4}^{(5)} = I_4^{(5)} \cos \gamma_4^{(5)}$$

$$G_{i,4}^{(5)} = I_4^{(5)} \sin \gamma_4^{(5)}$$

شکل (۷-۵) دیاگرام فازوری برای هارمونیک پنجم را نشان می‌دهد.



شکل ۷-۵- دیاگرام فازوری برای هارمونیک پنجم

با توجه به شکل فوق می‌توان نوشت:

$$\delta_4^{(5)} = \epsilon_4^{(5)} + \gamma_4^{(5)}$$

$$\gamma_4^{(5)} = \delta_4^{(5)} - \epsilon_4^{(5)} = 0 - \epsilon_4^{(5)} = -0.01014 \text{ rad}$$

$$G_{r,4}^{(5)} = 0.2994 \text{ pu}$$

$$G_{i,4}^{(5)} = -0.003036 \text{ pu}$$

بدلیل اینکه  $\gamma_4^{(5)}$  در این تکرار کوچک است، جریان‌های غیر خطی ارجاع شده به شینه مرجع با

جریان‌های غیر خطی ارجاع شده به شینه شماره ۴ تقریباً یکسان است.

همچنین داریم:

$$P_4^{(1)} = I_4^{(1)} V_4^{(1)} \cos(\delta_4^{(1)} - \gamma_4^{(1)}) = 0.2711 \cdot 0.9960 \cdot \cos(-0.003414 + 0.38391) = 0.250 \text{ pu}$$

$$Q_4^{(1)} = I_4^{(1)} V_4^{(1)} \sin(\delta_4^{(1)} - \gamma_4^{(1)}) = 0.2711 \cdot 0.9960 \cdot \sin(-0.003414 + 0.38391) = 0.100 \text{ pu}$$

$$P_4^{(5)} = I_4^{(5)} V_4^{(5)} \cos(\delta_4^{(5)} - \gamma_4^{(5)}) = 0.2994 \cdot 0.1 \cdot \cos(0 + 0.01014) = 0.02994 \text{ pu}$$

$$Q_4^{(5)} = I_4^{(5)} V_4^{(5)} \sin(\delta_4^{(5)} - \gamma_4^{(5)}) = 0.2994 \cdot 0.1 \cdot \sin(0 + 0.01014) = 0.000304 \text{ pu}$$

بنابراین توان‌های اکتیو و راکتیو تحریق شده کلی به شینه شماره ۴ بصورت زیر بدست می‌آیند:

$$P'_4 = P_4^{(1)} + P_4^{(5)} = 0.250 \text{ pu} + 0.02994 \text{ pu} = 0.27994 \text{ pu}$$

$$Q'_4 = Q_4^{(1)} + Q_4^{(5)} = 0.100 \text{ pu} + 0.000304 \text{ pu} = 0.100304 \text{ pu}$$

### مرحله سوم: محاسبه بردار اختلاف

$$\begin{aligned}\Delta \bar{M}^0 &= (\Delta \bar{W}, \Delta \bar{I}^{(5)}, \Delta \bar{I}^{(1)})^t \\ &= (P_2^{(1)} + F_{r,2}^{(1)}, Q_2^{(1)} + F_{i,2}^{(1)}, P_3^{(1)} + F_{r,3}^{(1)}, Q_3^{(1)} + F_{i,3}^{(1)}, P_4^t + F_{r,4}^{(1)} + F_{r,4}^{(5)}, Q_4^t + F_{i,4}^{(1)} + F_{i,4}^{(5)}, \\ &\quad I_{r,1}^{(5)}, I_{i,1}^{(5)}, I_{r,2}^{(5)}, I_{i,2}^{(5)}, I_{r,3}^{(5)}, I_{i,3}^{(5)}, I_{r,4}^{(5)} + G_{r,4}^{(5)}, I_{i,4}^{(5)} + G_{i,4}^{(5)}, I_{r,4}^{(1)} + G_{r,4}^{(1)}, I_{i,4}^{(1)} + G_{i,4}^{(1)})^t\end{aligned}$$

به منظور محاسبه بردار اختلاف از روابط زیر استفاده می شود:

$$\Delta P_i = P_i + F_{r,i} = P_i + \sum_{j=1}^n y_{ij} |\tilde{V}_j| |\tilde{V}_i| \cos(-\theta_{ij} - \delta_j + \delta_i)$$

$$\Delta Q_i = Q_i + F_{i,i} = Q_i + \sum_{j=1}^n y_{ij} |\tilde{V}_j| |\tilde{V}_i| \sin(-\theta_{ij} - \delta_j + \delta_i)$$

$$\Delta I_{r,i}^{(h)} = I_{r,i}^{(h)} + G_{r,i}^{(h)} = \sum_{j=1}^n y_{ij}^{(h)} |\tilde{V}_j| |\tilde{V}_i| \cos(\theta_{ij}^{(h)} + \delta_j^{(h)}) + G_{r,i}^{(h)}$$

$$\Delta I_{i,i}^{(h)} = I_{i,i}^{(h)} + G_{i,i}^{(h)} = \sum_{j=1}^n y_{ij}^{(h)} |\tilde{V}_j| |\tilde{V}_i| \sin(\theta_{ij}^{(h)} + \delta_j^{(h)}) + G_{i,i}^{(h)}$$

از این رو داریم:

$$\begin{aligned}\Delta P_2^{(1)} &= P_2^{(1)} + F_{r,2}^{(1)} = P_2 + y_{21} V_1 V_2 \cos(-\theta_{21} - \delta_1 + \delta_2) + y_{22} V_2 V_2 \cos(-\theta_{22} - \delta_2 + \delta_2) \\ &\quad + y_{23} V_3 V_2 \cos(-\theta_{23} - \delta_3 + \delta_2) + y_{24} V_4 V_2 \cos(-\theta_{24} - \delta_4 + \delta_2) \\ &= 0.1 + 70.72 \cdot 1 \cdot 0.9976 \cos(-2.356 - 0 - 0.000267) \\ &\quad + 81.42 \cdot (0.9976)^2 \cos(0.863 + 0.000267 - 0.000267) \\ &\quad + 12.127 \cdot 0.9964 \cdot 0.9976 \cos(-1.816 + 0.00281 - 0.000267) + 0 = -0.0170 pu,\end{aligned}$$

$$\begin{aligned}\Delta Q_2^{(1)} &= Q_2^{(1)} + F_{i,2}^{(1)} = Q_2 + y_{21} V_1 V_2 \sin(-\theta_{21} - \delta_1 + \delta_2) + y_{22} V_2 V_2 \sin(-\theta_{22} - \delta_2 + \delta_2) \\ &\quad + y_{23} V_3 V_2 \sin(-\theta_{23} - \delta_3 + \delta_2) + y_{24} V_4 V_2 \sin(-\theta_{24} - \delta_4 + \delta_2) \\ &= 0.1 + 70.72 \cdot 1 \cdot 0.9976 \sin(-2.356 - 0 - 0.000267) \\ &\quad + 81.42 \cdot (0.9976)^2 \sin(0.863 + 0.000267 - 0.000267) \\ &\quad + 12.127 \cdot 0.9964 \cdot 0.9976 \sin(-1.816 + 0.00281 - 0.000267) + 0 = 0.083 pu.\end{aligned}$$

$$\begin{aligned}
\Delta P_3^{(1)} &= P_3^{(1)} + F_{r,3}^{(1)} = P_3 + y_{31}V_1V_3 \cos(-\theta_{31} - \delta_1 + \delta_3) + y_{32}V_2V_3 \cos(-\theta_{32} - \delta_2 + \delta_3) \\
&\quad + y_{33}V_3V_3 \cos(-\theta_{33} - \delta_3 + \delta_3) + y_{34}V_4V_3 \cos(-\theta_{34} - \delta_4 + \delta_3) \\
&= 0 + 0 + 12.127 \cdot 1 \cdot 0.9976 \cdot 0.9964 \cos(-1.816 + 0.000267 - 0.00281) \\
&\quad + 56.62 \cdot (0.9964)^2 \cos(1.154 + 0.00281 - 0.00281) \\
&\quad + 44.72 \cdot 0.9959 \cdot 0.9964 \cos(-2.034 + 0.00341 - 0.00281) = -0.00325 \text{ pu} ,
\end{aligned}$$

$$\begin{aligned}
\Delta Q_3^{(1)} &= Q_3^{(1)} + F_{i,3}^{(1)} = Q_3 + y_{31}V_1V_3 \sin(-\theta_{31} - \delta_1 + \delta_3) + y_{32}V_2V_3 \sin(-\theta_{32} - \delta_2 + \delta_3) \\
&\quad + y_{33}V_3V_3 \sin(\theta_{33} - \delta_3 + \delta_3) + y_{34}V_4V_3 \sin(-\theta_{34} - \delta_4 + \delta_3), \\
&= 0 + 0 + 12.127 \cdot 0.9976 \cdot 0.9964 \sin(-1.816 + 0.000267 - 0.00281) \\
&\quad + 56.62 \cdot (0.9964)^2 \sin(1.154 + 0.00281 - 0.00281) \\
&\quad + 44.72 \cdot 0.9959 \cdot 0.9964 \sin(-2.034 + 0.00341 - 0.00281) = 0.00192 \text{ pu} .
\end{aligned}$$

$$\begin{aligned}
\Delta P_4^t &= P_4^t + F_{r,4}^{(1)} + F_{r,4}^{(5)} = P_4^t + \sum_{j=1}^4 y_{4j}V_j^{(1)}V_4^{(1)} \cos(-\theta_{4j} - \delta_j^{(1)} + \delta_4^{(1)}) \\
&\quad + \sum_{j=1}^4 y_{4j}^{(5)}V_j^{(5)}V_4^{(5)} \cos(-\theta_{4j}^{(5)} - \delta_j^{(5)} + \delta_4^{(5)}), \\
&= P_4^t + y_{41}V_1^{(1)}V_4^{(1)} \cos(-\theta_{41} - \delta_1^{(1)} + \delta_4^{(1)}) + y_{43}V_3^{(1)}V_4^{(1)} \cos(-\theta_{43} - \delta_3^{(1)} + \delta_4^{(1)}) \\
&\quad + y_{44}V_4^{(1)}V_4^{(1)} \cos(-\theta_{44} - \delta_4^{(1)} + \delta_4^{(1)}) + y_{41}^{(5)}V_1^{(5)}V_4^{(5)} \cos(-\theta_{41}^{(5)} - \delta_1^{(5)} + \delta_4^{(5)}) \\
&\quad + y_{43}^{(5)}V_3^{(5)}V_4^{(5)} \cos(-\theta_{43}^{(5)} - \delta_3^{(5)} + \delta_4^{(5)}) + y_{44}^{(5)}V_4^{(5)}V_4^{(5)} \cos(-\theta_{44}^{(5)} - \delta_4^{(5)} + \delta_4^{(5)}), \\
&= 0.27994 + 44.72 \cdot 1 \cdot 0.9959 \cos(-2.034 - 0 - 0.00341) \\
&\quad + 44.72 \cdot 0.9964 \cdot 0.9959 \cos(-2.034 - 0.00281 - 0.00341) \\
&\quad + 89.44 \cdot (0.9959)^2 \cos(1.1076 + 0.00341 - 0.00341) \\
&\quad + 9.95 \cdot 0.1 \cdot 0.1 \cdot \cos(-1.6704 - 0 + 0) + 9.95 \cdot 0.1 \cdot 0.1 \cdot \cos(-1.6704 - 0 + 0) \\
&\quad + 19.901 \cdot (0.1)^2 \cos(1.4711 - 0 + 0) = 0.037 \text{ pu} .
\end{aligned}$$

$$\begin{aligned}
\Delta Q_4^t &= Q_4^t + F_{i,4}^{(1)} + F_{i,4}^{(5)} = Q_4^t + \sum_{j=1}^4 y_{4j}V_j^{(1)}V_4^{(1)} \sin(-\theta_{4j} - \delta_j^{(1)} + \delta_4^{(1)}) \\
&\quad + \sum_{j=1}^4 y_{4j}^{(5)}V_j^{(5)}V_4^{(5)} \sin(-\theta_{4j}^{(5)} - \delta_j^{(5)} + \delta_4^{(5)}), \\
&= Q_4^t + y_{41}V_1^{(1)}V_4^{(1)} \sin(-\theta_{41} - \delta_1^{(1)} + \delta_4^{(1)}) + y_{43}V_3^{(1)}V_4^{(1)} \sin(-\theta_{43} - \delta_3^{(1)} + \delta_4^{(1)})
\end{aligned}$$

$$\begin{aligned}
& + y_{44} V_4^{(1)} V_4^{(1)} \sin(-\theta_{44} - \delta_4^{(1)} + \delta_4^{(1)}) + y_{41}^{(5)} V_1^{(5)} V_4^{(5)} \sin(-\theta_{41}^{(5)} - \delta_1^{(5)} + \delta_4^{(5)}) \\
& + y_{43}^{(5)} V_3^{(5)} V_4^{(5)} \sin(-\theta_{43}^{(5)} - \delta_3^{(5)} + \delta_4^{(5)}) + y_{44}^{(5)} V_4^{(5)} V_4^{(5)} \sin(-\theta_{44}^{(5)} - \delta_4^{(5)} + \delta_4^{(5)}) , \\
& = 0.10034 + 44.72 \cdot 1 \cdot 0.9959 \sin(-2.034 - 0 - 0.00341) \\
& + 44.72 \cdot 0.9964 \cdot 0.9959 \sin(-2.034 - 0.00281 - 0.00341) \\
& + 89.44 \cdot (0.9959)^2 \sin(1.1076 + 0.00341 - 0.00341) \\
& + 9.95 \cdot 0.1 \cdot 0.1 \cdot \sin(-1.6704 - 0 + 0) + 9.95 \cdot 0.1 \cdot 0.1 \cdot \sin(-1.6704 - 0 + 0) \\
& + 19.901 \cdot (0.1)^2 \sin(1.4711 - 0 + 0) = -0.188 pu .
\end{aligned}$$

$$\begin{aligned}
I_{r,1}^{(5)} &= \sum_{j=1}^4 y_{1j}^{(5)} |\tilde{V}_j^{(5)}| \cos(\theta_{1j}^{(5)} + \delta_j^{(5)}) , \\
& = y_{11}^{(5)} |\tilde{V}_1^{(5)}| \cos(\theta_{11}^{(5)} + \delta_1^{(5)}) + y_{12}^{(5)} |\tilde{V}_2^{(5)}| \cos(\theta_{12}^{(5)} + \delta_2^{(5)}) + y_{13}^{(5)} |\tilde{V}_3^{(5)}| \cos(\theta_{13}^{(5)} + \delta_3^{(5)}) \\
& + y_{14}^{(5)} |\tilde{V}_4^{(5)}| \cos(\theta_{14}^{(5)} + \delta_4^{(5)}) , \\
& = 2029.137 \cdot 0.1 \cdot \cos(-1.5684 + 0) + 19.61 \cdot 0.1 \cdot \cos(1.7681 + 0) + 0 \\
& + 9.9503 \cdot 0.1 \cdot \cos(-1.4711 + 0) = 0.201 pu .
\end{aligned}$$

$$\begin{aligned}
I_{i,1}^{(5)} &= \sum_{j=1}^4 y_{1j}^{(5)} |\tilde{V}_j^{(5)}| \sin(\theta_{1j}^{(5)} + \delta_j^{(5)}) , \\
& = y_{11}^{(5)} |\tilde{V}_1^{(5)}| \sin(\theta_{11}^{(5)} + \delta_1^{(5)}) + y_{12}^{(5)} |\tilde{V}_2^{(5)}| \sin(\theta_{12}^{(5)} + \delta_2^{(5)}) + y_{13}^{(5)} |\tilde{V}_3^{(5)}| \sin(\theta_{13}^{(5)} + \delta_3^{(5)}) \\
& + y_{14}^{(5)} |\tilde{V}_4^{(5)}| \sin(\theta_{14}^{(5)} + \delta_4^{(5)}) , \\
& = 2029.137 \cdot 0.1 \cdot \sin(-1.5684 + 0) + 19.61 \cdot 0.1 \cdot \sin(1.7681 + 0) + 0 \\
& + 9.9503 \cdot 0.1 \cdot \sin(-1.4711 + 0) = -201.98 pu .
\end{aligned}$$

$$\begin{aligned}
I_{r,2}^{(5)} &= \sum_{j=1}^4 y_{2j}^{(5)} |\tilde{V}_j^{(5)}| \cos(\theta_{2j}^{(5)} + \delta_j^{(5)}) , \\
& = y_{21}^{(5)} |\tilde{V}_1^{(5)}| \cos(\theta_{21}^{(5)} + \delta_1^{(5)}) + y_{22}^{(5)} |\tilde{V}_2^{(5)}| \cos(\theta_{22}^{(5)} + \delta_2^{(5)}) + y_{23}^{(5)} |\tilde{V}_3^{(5)}| \cos(\theta_{23}^{(5)} + \delta_3^{(5)}) \\
& + y_{24}^{(5)} |\tilde{V}_4^{(5)}| \cos(\theta_{24}^{(5)} + \delta_4^{(5)}) , \\
& = 19.61 \cdot 0.1 \cdot \cos(1.7681 + 0) + 22.0847 \cdot 0.1 \cdot \cos(-1.3900 + 0) \\
& + 2.4969 \cdot 0.1 \cdot \cos(1.62066 + 0) + 0 = 0.000255
\end{aligned}$$

$$\begin{aligned}
I_{i,2}^{(5)} &= \sum_{j=1}^4 y_{2j}^{(5)} |\tilde{V}_j^{(5)}| \sin(\theta_{2j}^{(5)} + \delta_j^{(5)}), \\
&= y_{21}^{(5)} |\tilde{V}_1^{(5)}| \sin(\theta_{21}^{(5)} + \delta_1^{(5)}) + y_{22}^{(5)} |\tilde{V}_2^{(5)}| \sin(\theta_{22}^{(5)} + \delta_2^{(5)}) + y_{23}^{(5)} |\tilde{V}_3^{(5)}| \sin(\theta_{23}^{(5)} + \delta_3^{(5)}) \\
&\quad + y_{24}^{(5)} |\tilde{V}_4^{(5)}| \sin(\theta_{24}^{(5)} + \delta_4^{(5)}), \\
&= 19.61 \cdot 0.1 \cdot \sin(1.7681 + 0) + 22.0847 \cdot 0.1 \cdot \sin(-1.3900 + 0) \\
&\quad + 2.4969 \cdot 0.1 \cdot \sin(1.62066 + 0) + 0 = -0.000620
\end{aligned}$$

$$\begin{aligned}
I_{r,3}^{(5)} &= \sum_{j=1}^4 y_{3j}^{(5)} |\tilde{V}_j^{(5)}| \cos(\theta_{3j}^{(5)} + \delta_j^{(5)}), \\
&= y_{31}^{(5)} |\tilde{V}_1^{(5)}| \cos(\theta_{31}^{(5)} + \delta_1^{(5)}) + y_{32}^{(5)} |\tilde{V}_2^{(5)}| \cos(\theta_{32}^{(5)} + \delta_2^{(5)}) + y_{33}^{(5)} |\tilde{V}_3^{(5)}| \cos(\theta_{33}^{(5)} + \delta_3^{(5)}) \\
&\quad + y_{34}^{(5)} |\tilde{V}_4^{(5)}| \cos(\theta_{34}^{(5)} + \delta_4^{(5)}), \\
&= 0 + 2.4969 \cdot 0.1 \cdot \cos(1.62066 + 0) + 12.445 \cdot 0.1 \cdot \cos(-1.4811 + 0) \\
&\quad + 9.9504 \cdot 0.1 \cdot \cos(1.6704) = 0.000104.
\end{aligned}$$

$$\begin{aligned}
I_{i,3}^{(5)} &= \sum_{j=1}^4 y_{3j}^{(5)} |\tilde{V}_j^{(5)}| \sin(\theta_{3j}^{(5)} + \delta_j^{(5)}), \\
&= y_{31}^{(5)} |\tilde{V}_1^{(5)}| \sin(\theta_{31}^{(5)} + \delta_1^{(5)}) + y_{32}^{(5)} |\tilde{V}_2^{(5)}| \sin(\theta_{32}^{(5)} + \delta_2^{(5)}) + y_{33}^{(5)} |\tilde{V}_3^{(5)}| \sin(\theta_{33}^{(5)} + \delta_3^{(5)}) \\
&\quad + y_{34}^{(5)} |\tilde{V}_4^{(5)}| \sin(\theta_{34}^{(5)} + \delta_4^{(5)}), \\
&= 2.4969 \cdot 0.1 \cdot \sin(1.62066 + 0) + 12.445 \cdot 0.1 \cdot \sin(-1.4811 + 0) \\
&\quad + 9.9504 \cdot 0.1 \cdot \sin(1.6704) = 0.0000082.
\end{aligned}$$

$$\begin{aligned}
I_{r,4}^{(5)} + G_{r,4}^{(5)} &= \sum_{j=1}^4 y_{4j}^{(5)} |\tilde{V}_j^{(5)}| \cos(\theta_{4j}^{(5)} + \delta_j^{(5)}) + G_{r,4}^{(5)}, \\
&= y_{41}^{(5)} |\tilde{V}_1^{(5)}| \cos(\theta_{41}^{(5)} + \delta_1^{(5)}) + y_{43}^{(5)} |\tilde{V}_3^{(5)}| \cos(\theta_{43}^{(5)} + \delta_3^{(5)}) + y_{44}^{(5)} |\tilde{V}_4^{(5)}| \cos(\theta_{44}^{(5)} + \delta_4^{(5)}) + G_{r,4}^{(5)} \\
&= 9.9503 \cdot 0.1 \cdot \cos(1.6704 + 0) + 9.9504 \cdot 0.1 \cdot \cos(1.6704 + 0) \\
&\quad + 19.901 \cdot 0.1 \cdot \cos(-1.4711 + 0) + 0.2994 = 0.2996.
\end{aligned}$$

$$I_{i,4}^{(5)} + G_{i,4}^{(5)} = \sum_{j=1}^4 y_{4j}^{(5)} |\tilde{V}_j^{(5)}| \sin(\theta_{4j}^{(5)} + \delta_j^{(5)}) + G_{i,4}^{(5)},$$

$$\begin{aligned}
&= y_{41}^{(5)} \left| \widetilde{V}_1^{(5)} \right| \sin(\theta_{41}^{(5)} + \delta_1^{(5)}) + y_{43}^{(5)} \left| \widetilde{V}_3^{(5)} \right| \sin(\theta_{43}^{(5)} + \delta_3^{(5)}) + y_{44}^{(5)} \left| \widetilde{V}_4^{(5)} \right| \sin(\theta_{44}^{(5)} + \delta_4^{(5)}) + G_{r,4}^{(5)} \\
&= 9.9503 \cdot 0.1 \cdot \sin(1.6704 + 0) + 9.9504 \cdot 0.1 \cdot \sin(1.6704 + 0) \\
&\quad + 19.901 \cdot 0.1 \cdot \sin(-1.4711 + 0) - 0.003036 = -0.00325.
\end{aligned}$$

$$\begin{aligned}
I_{r,4}^{(1)} + G_{r,4}^{(1)} &= \sum_{j=1}^4 y_{4j}^{(1)} \left| \widetilde{V}_j^{(1)} \right| \cos(\theta_{4j}^{(1)} + \delta_j^{(1)}) + G_{r,4}^{(1)}, \\
&= y_{41} \left| \widetilde{V}_1^{(1)} \right| \cos(\theta_{41}^{(1)} + \delta_1^{(1)}) + y_{43} \left| \widetilde{V}_3^{(1)} \right| \cos(\theta_{43}^{(1)} + \delta_3^{(1)}) + y_{44} \left| \widetilde{V}_4^{(1)} \right| \cos(\theta_{44}^{(1)} + \delta_4^{(1)}) + G_{r,4}^{(1)}, \\
&= 44.72 \cdot 1.0 \cdot \cos(2.034 + 0) + 44.72 \cdot 0.9964 \cdot \cos(2.034 - 0.00281) \\
&\quad + 89.44 \cdot 0.9960 \cdot \cos(-1.1076 - 0.003414) + 0.2514 = 0.0027
\end{aligned}$$

$$\begin{aligned}
I_{i,4}^{(1)} + G_{i,4}^{(1)} &= \sum_{j=1}^4 y_{4j}^{(5)} \left| \widetilde{V}_j^{(1)} \right| \sin(\theta_{4j}^{(1)} + \delta_j^{(1)}) + G_{i,4}^{(1)}, \\
&= y_{41} \left| \widetilde{V}_1^{(1)} \right| \sin(\theta_{41}^{(1)} + \delta_1^{(1)}) + y_{43} \left| \widetilde{V}_3^{(1)} \right| \sin(\theta_{43}^{(1)} + \delta_3^{(1)}) + y_{44} \left| \widetilde{V}_4^{(1)} \right| \sin(\theta_{44}^{(1)} + \delta_4^{(1)}) + G_{i,4}^{(1)}, \\
&= 44.72 \cdot 1.0 \cdot \sin(2.034 + 0) + 44.72 \cdot 0.9964 \cdot \sin(2.034 - 0.00281) \\
&\quad + 89.44 \cdot 0.9960 \cdot \sin(-1.1076 - 0.003414) - 0.1015 = -0.0054
\end{aligned}$$

و در نتیجه بردار اختلاف بصورت زیر بدست می آید:

$$\begin{aligned}
\Delta \bar{M}^0 &= (-0.0170, 0.083, -0.00325, 0.00192, 0.037, -0.188, 0.201, -201.98, 0.000255, -0.000620 \\
&\quad 0.000104, 0.0000082, 0.2996, -0.00325, 0.0027, -0.0064)
\end{aligned}$$

با توجه به اینکه درایه‌های بردار اختلاف کوچکتر از  $1/1000$  نیستند، لذا الگوریتم باید تکرار شود.

مرحله چهارم: محاسبه ماتریس ژاکوبین

$\delta_2^{(1)}$	$V_2^{(1)}$	$\delta_3^{(1)}$	$V_3^{(1)}$	$\delta_4^{(1)}$	$V_4^{(1)}$	$\delta_1^{(5)}$	$V_1^{(5)}$	$V_2^{(5)}$	$V_3^{(5)}$	$\delta_3^{(5)}$	$V_4^{(5)}$	$\delta_4^{(5)}$	$V_4^{(5)}$	$\alpha$	$\beta$	
$J_{1,1}^0$	$J_{1,2}^0$	$J_{1,3}^0$	$J_{1,4}^0$	$J_{1,5}^0$	$J_{1,6}^0$	$J_{1,7}^0$	$J_{1,8}^0$	$J_{1,9}^0$	$J_{1,10}^0$	$J_{1,11}^0$	$J_{1,12}^0$	$J_{1,13}^0$	$J_{1,14}^0$	$J_{1,15}^0$	$J_{1,16}^0$	$\leftarrow \Delta P_2^{(1)}$
$J_{2,1}^0$	$J_{2,2}^0$	$J_{2,3}^0$	$J_{2,4}^0$	$J_{2,5}^0$	$J_{2,6}^0$	$J_{2,7}^0$	$J_{2,8}^0$	$J_{2,9}^0$	$J_{2,10}^0$	$J_{2,11}^0$	$J_{2,12}^0$	$J_{2,13}^0$	$J_{2,14}^0$	$J_{2,15}^0$	$J_{2,16}^0$	$\leftarrow \Delta Q_2^{(1)}$
$J_{3,1}^0$	$J_{3,2}^0$	$J_{3,3}^0$	$J_{3,4}^0$	$J_{3,5}^0$	$J_{3,6}^0$	$J_{3,7}^0$	$J_{3,8}^0$	$J_{3,9}^0$	$J_{3,10}^0$	$J_{3,11}^0$	$J_{3,12}^0$	$J_{3,13}^0$	$J_{3,14}^0$	$J_{3,15}^0$	$J_{3,16}^0$	$\leftarrow \Delta P_3^{(1)}$
$J_{4,1}^0$	$J_{4,2}^0$	$J_{4,3}^0$	$J_{4,4}^0$	$J_{4,5}^0$	$J_{4,6}^0$	$J_{4,7}^0$	$J_{4,8}^0$	$J_{4,9}^0$	$J_{4,10}^0$	$J_{4,11}^0$	$J_{4,12}^0$	$J_{4,13}^0$	$J_{4,14}^0$	$J_{4,15}^0$	$J_{4,16}^0$	$\leftarrow \Delta Q_3^{(1)}$
$J_{5,1}^0$	$J_{5,2}^0$	$J_{5,3}^0$	$J_{5,4}^0$	$J_{5,5}^0$	$J_{5,6}^0$	$J_{5,7}^0$	$J_{5,8}^0$	$J_{5,9}^0$	$J_{5,10}^0$	$J_{5,11}^0$	$J_{5,12}^0$	$J_{5,13}^0$	$J_{5,14}^0$	$J_{5,15}^0$	$J_{5,16}^0$	$\leftarrow \Delta P_4^t$
$J_{6,1}^0$	$J_{6,2}^0$	$J_{6,3}^0$	$J_{6,4}^0$	$J_{6,5}^0$	$J_{6,6}^0$	$J_{6,7}^0$	$J_{6,8}^0$	$J_{6,9}^0$	$J_{6,10}^0$	$J_{6,11}^0$	$J_{6,12}^0$	$J_{6,13}^0$	$J_{6,14}^0$	$J_{6,15}^0$	$J_{6,16}^0$	$\leftarrow \Delta Q_4'$
$J_{7,1}^0$	$J_{7,2}^0$	$J_{7,3}^0$	$J_{7,4}^0$	$J_{7,5}^0$	$J_{7,6}^0$	$J_{7,7}^0$	$J_{7,8}^0$	$J_{7,9}^0$	$J_{7,10}^0$	$J_{7,11}^0$	$J_{7,12}^0$	$J_{7,13}^0$	$J_{7,14}^0$	$J_{7,15}^0$	$J_{7,16}^0$	$\leftarrow \Delta I_{r,1}^{(5)}$
$J_{8,1}^0$	$J_{8,2}^0$	$J_{8,3}^0$	$J_{8,4}^0$	$J_{8,5}^0$	$J_{8,6}^0$	$J_{8,7}^0$	$J_{8,8}^0$	$J_{8,9}^0$	$J_{8,10}^0$	$J_{8,11}^0$	$J_{8,12}^0$	$J_{8,13}^0$	$J_{8,14}^0$	$J_{8,15}^0$	$J_{8,16}^0$	$\leftarrow \Delta I_{i,1}^{(5)}$
$J_{9,1}^0$	$J_{9,2}^0$	$J_{9,3}^0$	$J_{9,4}^0$	$J_{9,5}^0$	$J_{9,6}^0$	$J_{9,7}^0$	$J_{9,8}^0$	$J_{9,9}^0$	$J_{9,10}^0$	$J_{9,11}^0$	$J_{9,12}^0$	$J_{9,13}^0$	$J_{9,14}^0$	$J_{9,15}^0$	$J_{9,16}^0$	$\leftarrow \Delta I_{r,2}^{(5)}$
$J_{10,1}^0$	$J_{10,2}^0$	$J_{10,3}^0$	$J_{10,4}^0$	$J_{10,5}^0$	$J_{10,6}^0$	$J_{10,7}^0$	$J_{10,8}^0$	$J_{10,9}^0$	$J_{10,10}^0$	$J_{10,11}^0$	$J_{10,12}^0$	$J_{10,13}^0$	$J_{10,14}^0$	$J_{10,15}^0$	$J_{10,16}^0$	$\leftarrow \Delta I_{i,2}^{(5)}$
$J_{11,1}^0$	$J_{11,2}^0$	$J_{11,3}^0$	$J_{11,4}^0$	$J_{11,5}^0$	$J_{11,6}^0$	$J_{11,7}^0$	$J_{11,8}^0$	$J_{11,9}^0$	$J_{11,10}^0$	$J_{11,11}^0$	$J_{11,12}^0$	$J_{11,13}^0$	$J_{11,14}^0$	$J_{11,15}^0$	$J_{11,16}^0$	$\leftarrow \Delta I_{r,3}^{(5)}$
$J_{12,1}^0$	$J_{12,2}^0$	$J_{12,3}^0$	$J_{12,4}^0$	$J_{12,5}^0$	$J_{12,6}^0$	$J_{12,7}^0$	$J_{12,8}^0$	$J_{12,9}^0$	$J_{12,10}^0$	$J_{12,11}^0$	$J_{12,12}^0$	$J_{12,13}^0$	$J_{12,14}^0$	$J_{12,15}^0$	$J_{12,16}^0$	$\leftarrow \Delta I_{i,3}^{(5)}$
$J_{13,1}^0$	$J_{13,2}^0$	$J_{13,3}^0$	$J_{13,4}^0$	$J_{13,5}^0$	$J_{13,6}^0$	$J_{13,7}^0$	$J_{13,8}^0$	$J_{13,9}^0$	$J_{13,10}^0$	$J_{13,11}^0$	$J_{13,12}^0$	$J_{13,13}^0$	$J_{13,14}^0$	$J_{13,15}^0$	$J_{13,16}^0$	$\leftarrow \Delta I_{r,4}^{(5)}$
$J_{14,1}^0$	$J_{14,2}^0$	$J_{14,3}^0$	$J_{14,4}^0$	$J_{14,5}^0$	$J_{14,6}^0$	$J_{14,7}^0$	$J_{14,8}^0$	$J_{14,9}^0$	$J_{14,10}^0$	$J_{14,11}^0$	$J_{14,12}^0$	$J_{14,13}^0$	$J_{14,14}^0$	$J_{14,15}^0$	$J_{14,16}^0$	$\leftarrow \Delta I_{i,4}^{(5)}$
$J_{15,1}^0$	$J_{15,2}^0$	$J_{15,3}^0$	$J_{15,4}^0$	$J_{15,5}^0$	$J_{15,6}^0$	$J_{15,7}^0$	$J_{15,8}^0$	$J_{15,9}^0$	$J_{15,10}^0$	$J_{15,11}^0$	$J_{15,12}^0$	$J_{15,13}^0$	$J_{15,14}^0$	$J_{15,15}^0$	$J_{15,16}^0$	$\leftarrow \Delta I_{r,4}^{(1)}$
$J_{16,1}^0$	$J_{16,2}^0$	$J_{16,3}^0$	$J_{16,4}^0$	$J_{16,5}^0$	$J_{16,6}^0$	$J_{16,7}^0$	$J_{16,8}^0$	$J_{16,9}^0$	$J_{16,10}^0$	$J_{16,11}^0$	$J_{16,12}^0$	$J_{16,13}^0$	$J_{16,14}^0$	$J_{16,15}^0$	$J_{16,16}^0$	$\leftarrow \Delta I_{i,4}^{(1)}$

ردیف بالای و ستون سمت راست ماتریس فوق که جزو ماتریس ژاکوبین نیست، کمک می‌کند تا به آسانی

درایه‌های ماتریس ژاکوبین بدست آید. به عنوان نمونه می‌توان به روابط زیر توجه کرد.

$$J_{3,5}^0 = \frac{\partial(\Delta P_3^{(1)})}{\partial(\delta_4^{(1)})}, \quad J_{3,10}^0 = \frac{\partial(\Delta P_3^{(1)})}{\partial(V_2^{(5)})}$$

$$J_{8,5}^0 = \frac{\partial(\Delta I_{i,1}^{(5)})}{\partial(\delta_4^{(1)})}, \quad J_{8,10}^0 = \frac{\partial(\Delta I_{i,1}^{(5)})}{\partial(V_2^{(5)})},$$

$$J_{9,11}^0 = \frac{\partial(\Delta I_{r,2}^{(5)})}{\partial(\delta_3^{(5)})}, \quad \text{and} \quad J_{12,16}^0 = \frac{\partial(\Delta I_{r,3}^{(5)})}{\partial(\beta)}.$$

زیر ماتریس‌های تعریف شده به شکل زیر ساختار کلی ماتریس ژاکوبین را نشان می‌دهند.

$$\bar{J} = \begin{vmatrix} \bar{J}^{(1)} & \bar{J}^{(5)} & \bar{0}_{6,2} \\ \bar{G}^{(5,1)} & \bar{Y}^{(5,5)} + \bar{G}^{(5,5)} & \bar{H}^{(5)} \\ \bar{Y}^{(1,1)} + \bar{G}^{(1,1)} & \bar{G}^{(1,5)} & \bar{H}^{(1)} \end{vmatrix}$$

که در آن

$$\bar{J}^{(1)} = \begin{vmatrix} 61.68 & 52.932 & -11.764 & -2.944 & 0 & 0 \\ -52.94 & 61.945 & 2.944 & -11.764 & 0 & 0 \\ -11.764 & -2.944 & 51.772 & 22.917 & -40.0076 & -19.98 \\ 2.944 & -11.764 & -22.926 & 51.773 & 19.982 & -40.0076 \\ 0 & 0 & -40.0076 & -19.982 & 80.015 & 39.961 \\ 0 & 0 & 19.982 & -40.0076 & -39.963 & 80 \end{vmatrix}$$

$$\bar{J}^{(5)} = \begin{vmatrix} \bar{0}_{4 \times 8} \\ -0.099 & -0.099 & 0 & 0 & -0.099 & -0.09 & 0.198 & 0.198 \\ 0.010 & -0.099 & 0 & 0 & 0.010 & -0.99 & -0.020 & 1.98 \end{vmatrix}$$

$$\bar{Y}^{(1,1)} = \begin{vmatrix} 0 & 0 & -39.889 & -19.89 & 79.81 & 39.73 \\ 0 & 0 & -19.81 & 40.06 & 39.56 & -80.14 \end{vmatrix}$$

$$\bar{Y}^{(5,5)} = \begin{vmatrix} 202.91 & 4.84 & -1.92 & -3.85 & 0 & 0 & -0.99 & -0.99 \\ 0.48 & -2029.1 & -0.39 & 19.23 & 0 & 0 & -0.10 & 9.90 \\ -1.92 & -3.846 & 2.17 & 3.97 & -0.25 & -0.13 & 0 & 0 \\ -0.39 & 19.23 & 0.40 & -21.73 & -0.01 & 2.45 & 0 & 0 \\ 0 & 0 & -0.25 & -0.13 & 1.24 & 1.12 & -0.99 & -0.99 \\ 0 & 0 & -0.01 & 2.49 & 0.11 & -12.40 & -0.10 & 9.90 \\ -0.99 & -0.99 & 0 & 0 & -0.99 & -0.99 & 1.98 & 1.98 \\ -0.01 & 9.90 & 0 & 0 & -0.01 & 9.90 & 0.20 & -19.80 \end{vmatrix}$$

و همچنین با استفاده از روابط زیر می توان زیر ماتریس های دیگر را نیز بدست آورد.

$$\frac{\partial G_{r,4}^{(1)}}{\partial \delta_4^{(1)}} = -\frac{P_4^{(1)} \sin \gamma_4^{(1)}}{V_4^{(1)} \cos(\delta_4^{(1)} - \gamma_4^{(1)})} = 0.1016$$

$$\frac{\partial G_{r,4}^{(1)}}{\partial V_4^{(1)}} = -\frac{P_4^{(1)} \cos \gamma_4^{(1)}}{(V_4^{(1)})^2 \cos(\delta_4^{(1)} - \gamma_4^{(1)})} = -0.252$$

$$\frac{\partial G_{i,4}^{(1)}}{\partial \delta_4^{(1)}} = -\frac{P_4^{(1)} \cos \gamma_4^{(1)}}{V_4^{(1)} \cos(\delta_4^{(1)} - \gamma_4^{(1)})} = 0.250$$

$$\frac{\partial G_{i,4}^{(1)}}{\partial V_4^{(1)}} = -\frac{P_4^{(1)} \sin \gamma_4^{(1)}}{(V_4^{(1)})^2 \cos(\delta_4^{(1)} - \gamma_4^{(1)})} = 0.102$$

و در نتیجه

$$\bar{G}^{(1,1)} = \begin{vmatrix} 0.102 & -0.252 \\ \bar{0}_{2 \times 6} & 0.250 & 0.102 \end{vmatrix}$$

$$\frac{\partial G_{r,4}^{(5)}}{\partial \delta_4^{(1)}} = -0.9(V_4^{(1)})^3 \sin(3\delta_4^{(1)}) = 0.00896$$

$$\frac{\partial G_{r,4}^{(5)}}{\partial V_4^{(1)}} = 0.9(V_4^{(1)})^2 \cos(3\delta_4^{(1)}) = 0.893$$

$$\frac{\partial G_{i,4}^{(5)}}{\partial \delta_4^{(1)}} = 0.9(V_4^{(1)})^3 \cos(3\delta_4^{(1)}) = 0.8894$$

$$\frac{\partial G_{i,4}^{(5)}}{\partial V_4^{(1)}} = 0.9(V_4^{(1)})^2 \sin(3\delta_4^{(1)}) = -0.009.$$

۹

$$\frac{\partial G_{r,4}^{(5)}}{\partial \delta_4^{(5)}} = -0.9(V_4^{(5)})^2 \sin(3\delta_4^{(5)}) = 0.00$$

$$\frac{\partial G_{r,4}^{(5)}}{\partial V_4^{(5)}} = 0.6V_4^{(5)} \cos(3\delta_4^{(5)}) = 0.06$$

$$\frac{\partial G_{i,4}^{(5)}}{\partial \delta_4^{(5)}} = 0.9(V_4^{(5)})^2 \cos(3\delta_4^{(5)}) = 0.006$$

$$\frac{\partial G_{i,4}^{(5)}}{\partial V_4^{(5)}} = 0.6V_4^{(5)} \sin(3\delta_4^{(5)}) = 0.00.$$

و در نتیجه

$$\bar{G}^{(5,1)} = \begin{vmatrix} \bar{0}_{6 \times 8} & & \\ & 0.00896 & 0.893 \\ \bar{0}_{2 \times 6} & & \\ & 0.8894 & -0.009 \end{vmatrix}$$

۹

$$\bar{G}^{(5,5)} = \begin{vmatrix} \bar{0}_{6 \times 8} & & \\ & 0 & 0.06 \\ \bar{0}_{2 \times 6} & & \\ & 0.006 & 0 \end{vmatrix}$$

زیر ماتریس‌های  $H^{(l)}$  و  $H^{(5)}$  بدلیل عدم وابستگی بار غیر خطی در شینه شماره ۴ به زاویه‌های  $\alpha$  و  $\beta$  برابر صفر خواهد بود. اما با توجه به اینکه اگر برای این دو ماتریس صفر منظور گردد، دو ستون صفر در ماتریس ژاکوبین بوجود می‌آید که موجب می‌گردد این ماتریس وارون ناپذیر گردد. لذا برای این دو زیر ماتریس مقادیر دلخواه غیر صفر لحاظ می‌شود. در نهایت ماتریس ژاکوبین بصورت زیر خواهد بود.

-61.57	52.71	-11.70	-2.90	0	0	0	0	0	0	0	0	0	0	0	0
-52.79	61.52	2.89	-11.74	0	0	0	0	0	0	0	0	0	0	0	0
-11.69	-2.96	51.37	22.86	-39.71	-19.90	0	0	0	0	0	0	0	0	0	0
2.95	-11.72	-22.77	51.58	19.82	-39.87	0	0	0	0	0	0	0	0	0	0
0	0	-39.66	-19.94	79.45	39.59	-0.099	-0.099	0	0	-0.099	-0.099	0.198	0.198	0	0
0	0	19.86	-39.83	-39.93	79.58	0.010	-0.99	0	0	0.010	-0.99	-0.020	1.98	0	0
0	0	0	0	0	202.9	4.84	-1.92	-3.85	0	0	-0.99	-0.99	0	0	0
0	0	0	0	0	0.48	-2029	-0.39	19.23	0	0	-0.10	9.90	0	0	0
0	0	0	0	0	-1.92	-3.846	2.17	3.97	-0.25	-0.13	0	0	0	0	0
0	0	0	0	0	-0.39	19.23	0.40	-21.73	-0.01	2.45	0	0	0	0	0
0	0	0	0	0	0	0	-0.25	-0.13	1.24	1.12	-0.99	-0.99	0	0	0
0	0	0	0	0	0	0	-0.01	2.49	0.11	-12.40	-0.10	9.90	0	0	0
0	0	0	0	0.009	0.893	-0.99	-0.99	0	0	-0.99	-0.99	1.98	2.04	0	0
0	0	0	0	0.889	-0.009	-0.01	9.90	0	0	-0.01	9.90	0.201	-19.80	0	0
0	0	-39.89	-19.89	79.91	39.48	0	0	0	0	0	0	0	0	1	2
0	0	-19.81	40.06	39.81	-80.04	0	0	0	0	0	0	0	0	3	4

و با استفاده از این ماتریس می‌توان نوشت:

$$\Delta \bar{U}^0 = (\bar{J}^0)^{-1} = \begin{bmatrix} 3.43472 E - 6 \\ -1.33365 E - 6 \\ -7.62939 E - 6 \\ -3.81470 E - 6 \\ 2.99421 E - 2 \\ 2.97265 E - 4 \\ 4.217029 E - 6 \\ -200.0 \\ -4.09782 E - 8 \\ 2.384186 E - 7 \\ -1.93715 E - 7 \\ -5.960464 E - 8 \\ 0.29935 \\ -3.03515 E - 3 \\ -1.78814 E - 7 \\ 8.86619 E - 7 \end{bmatrix} = \begin{bmatrix} 1.20815 E - 6 \\ -8.59742 E - 7 \\ 9.552948 E - 6 \\ 1.54111 E - 6 \\ 1.184274 E - 5 \\ 2.3572 E - 6 \\ 1.46588 E - 3 \\ 0.10000228 \\ 2.38763 E - 2 \\ 0.1005407 \\ 0.2042002 \\ 0.1021379 \\ 0.249194 \\ 0.1027635 \\ -- \\ -- \end{bmatrix}$$

بردار ولتاژ به روز شده برای تکرار دوم بصورت زیر بدست می‌آید:

$$\begin{aligned} \bar{U}^1 &= \bar{U}^0 - \Delta \bar{U}^0 = (-2.68332E - 4, 0.99759, \\ &-2.80029E - 3, 0.99640, -3.4257E - 3, 0.99594, \\ &-1.465844E - 3, -2.28E - 6, -2.38763E - 2, \\ &-5.407E - 4, -0.2042, -2.138E - 3, -0.24919, \\ &-2.7635E - 3, 0, 0)' . \end{aligned}$$

همانطور که مشاهده می شود کلیه دامنه و لتاژها منفی هستند. به منظور مثبت کردن دامنه و لتاژها، به اندازه

$\pi$  رادیان جابجایی فاز انجام می دهیم.

$$\bar{U}^1 = (-2.68332E - 4, 0.99759, -2.80029E - 3, \\ 0.99640, -3.4257E - 3, 0.99594, 3.14013, 2.28E - 6, \\ 3.11772, 5.407E - 4, 2.93738, 2.138E - 3, 2.89239, \\ 2.7635E - 3, 0, 0)^T.$$

جريان‌های بار غیر خطی جدید چنین می‌شوند:

$$G_{r,4}^{(1)} = 0.256629$$

$$G_{r,4}^{(1)} = -0.1011142$$

$$G_{r,4}^{(5)} = 0.2965726$$

$$G_{r,4}^{(5)} = -2.59613E - 3$$

و در نهایت بردار اختلاف جدید

$$\Delta \bar{W}^1 = (5.342E - 6, -3.800E - 7, 5.722E - 6, \\ 3.815E - 6, -1.403E - 3, 4.332E - 4, -2.269E - 3, \\ -3.300E - 2, -2.677E - 3, 6.475E - 3, -1.021E - 3, \\ -2.105E - 3, 0.3023, 3.015E - 2, -6.264E - 4, \\ -1.473E - 4)^T.$$

همانطور که مشاهده می شود، درایه‌های بردار اختلاف جدید نیز همگی کوچکتر از ۱٪ هستند. لذا

الگوریتم باید تکرار شود. پس از ۸ بار تکرار پاسخ همگرا شده و نتیجه نهایی بصورت زیر بدست می‌آید:

نتیجه پخش بار اصلی

From Bus	Bus voltage		Bus generation (G) and load (L) powers				To Bus	Line power*	
	V  (%)	$\delta$ (°)	$P_G$ (%)	$Q_G$ (%)	$P_L$ (%)	$Q_L$ (%)		$P_{line}$ (%)	$Q_{line}$ (%)
1	100.0	0.00	35.16	20.90	0.00	0.00	2	13.35	10.81
							4	21.81	10.09
2	99.76	-0.01	0.00	0.00	10.00	10.00	1	-13.33	-10.78
							3	3.32	0.78
3	99.64	-0.16	0.00	0.00	0.00	0.00	2	-3.32	-0.77
							4	3.32	0.77
4	99.58	-0.19	0.00	0.00	25.00	10.00	3	-3.32	-0.77
							1	-21.75	-9.98

نتیجه پخش بار هارمونیکی برای هارمونیک پنجم (فرکانس ۳۰۰ هرتز)

From bus	Bus voltage		To bus	Line power <sup>a</sup>		Line current <sup>a</sup>	
	V  (%)	$\delta$ (°)		$P_{\text{line}}$ (%)	$Q_{\text{line}}$ (%)	Magnitude (%)	Angle (°)
1	0.0148	-90.57	2	0.000015	-0.000675	4.563896	-1.88
			4	-0.000015	-0.003707	25.042787	-0.33
			Neutral shunt	0.000000	0.004382	29.605302	179.43
2	0.2472	-102.44	1	0.002067	0.011090	4.563896	178.12
			3	-0.002067	-0.011090	4.563895	-1.88
			Neutral shunt	0.000000	0.094407	4.563895	178.12
3	2.0731	-95.66	2	0.006233	0.094407	4.563865	178.12
			4	-0.006233	-0.094406	4.563865	-1.88
			Neutral nonlinear	0.008315	0.115235	4.563865	178.12
4	2.5315	-96.01	3	0.062730	0.630848	25.042787	179.67
			1	-0.071046	-0.746085	29.605308	-0.57

جريان‌ها و توان‌های کلی

From bus	To bus	Line current			Line power				
		Fundamental value (%)	rms value (%)	Peak value (%)	THD <sub>i</sub> (%)	P (%)	Q (%)	D (%)	
1	2	17.18	17.78	19.26	0.9665	13.35	10.81	4.57	17.78
1	4	24.03	34.71	46.94	0.6923	21.81	10.09	25.04	34.71
2	1	17.18	17.78	19.26	0.9665	-13.32	-10.77	4.59	17.73
2	3	3.42	5.70	7.90	0.6000	3.32	0.77	4.56	5.69
3	2	3.42	5.70	7.90	0.6000	-3.32	-0.68	4.57	5.69
3	4	3.42	5.71	7.90	0.6000	3.32	0.68	4.57	5.69
4	3	3.42	5.71	7.90	0.6000	-3.31	-0.65	4.57	5.69
4	1	24.03	34.71	46.94	0.6923	-21.69	-9.35	25.25	34.57
4	Neutral nonlinear	27.04	40.09	54.76	0.6744	24.93	9.25	29.80	39.94

خلاصه ولتاژ شینه‌ها

Bus number	Fundamental value (%)	rms value (%)	Peak value (%)	THD <sub>v</sub> (%)
1	100.00	100.00	100.00	1.0000
2	99.76	99.76	99.71	1.0000
3	99.63	99.65	99.97	0.9998
4	99.58	99.61	100.11	0.9997

تمرین شماره ۱۱:

برنامه‌ای بنویسید که مسئله پخش بار هارمونیکی شبکه نمونه چهار شینه را حل نماید.